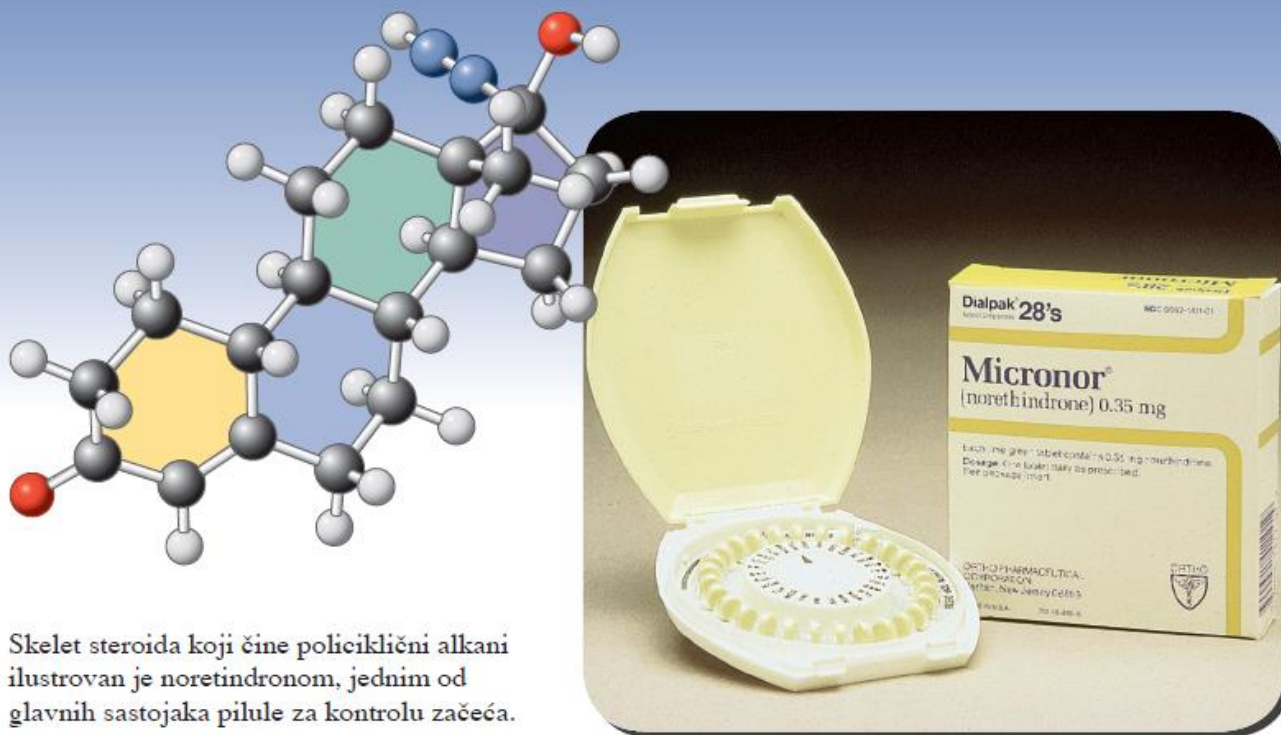
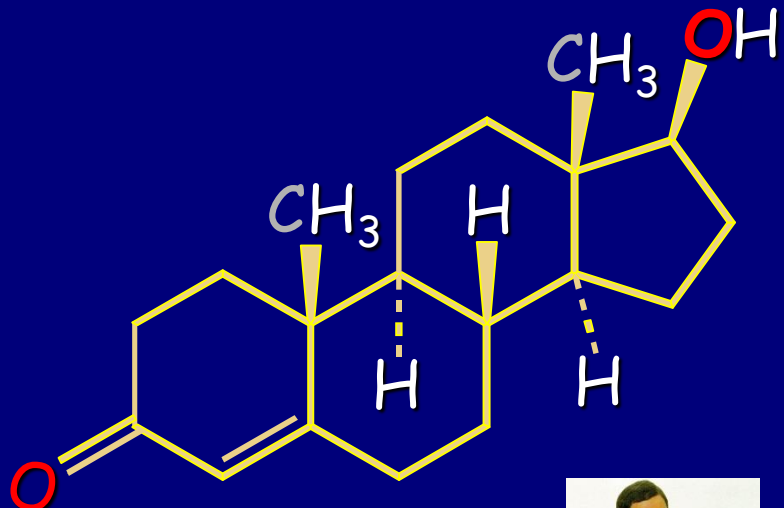




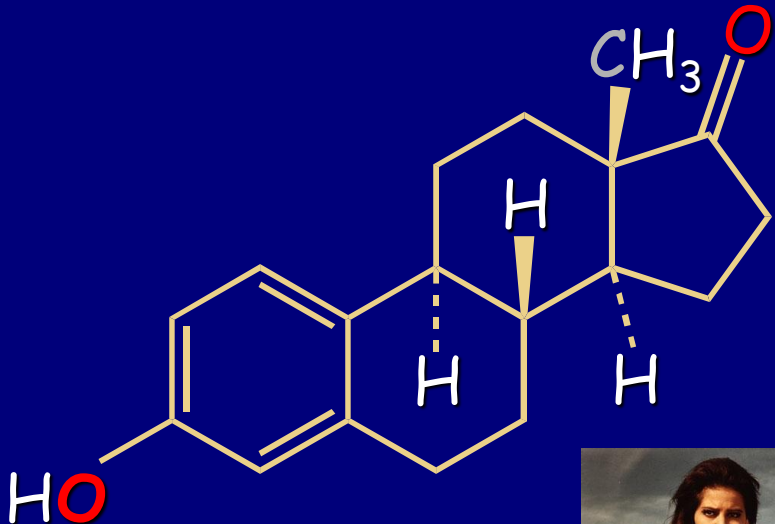
Ciklični alkani



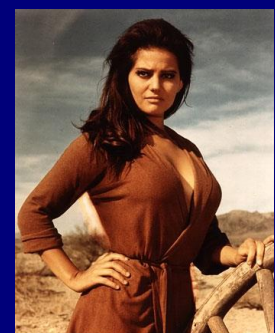
Steroidni hormoni



Testosteron



Estron



Polni hormoni regulišu razvoj i funkciju reproduktivnih organa;

Cikloalkani

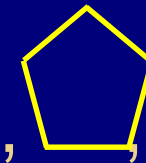
$(\text{CH}_2)_n$ ne $\text{C}_n\text{H}_{2n+2}$

Rasprostranjenost u prirodi: “rigid scaffolding”.

Imena: Cikloalkani

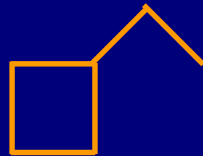


Ciklopropan,



etc.

Supstituenti: Cikloalkil. Supstituisani cikloalkani: kod monosupstituisani, položaj supstituenta je “C1”.



etilciklobutan (nije potrebno numerisanje)

Alkilcikloalkani ili cikloalkilalkani?

Manje jedinice se smatraju
supstituentima većih!!!

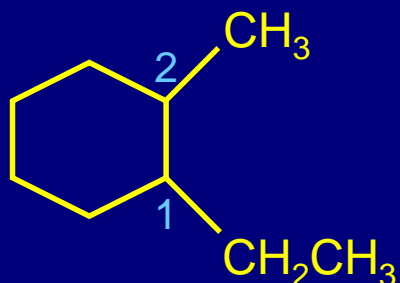
IUPAC-novo pravilo:
alkilcikloalkani



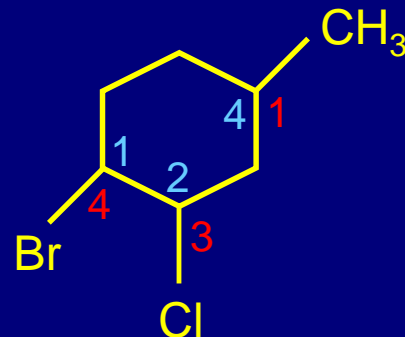
pentilciklopropan

Disupstituisani:

- Najmanji brojevi za položaj supstituenata
- Redosled po abecedi



1-etil-2-metilcikloheksan



1,2,4 ne 1,3,4

1-bromo-2-chloro-4-methylcikloheksan

Stereoizomeri

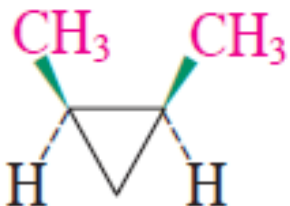
Cikloalkani imaju dve strane.

Sa dva i više supstituenata novi tip izomerije

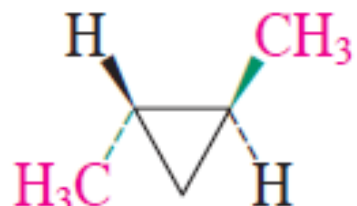
Supstituenti na istoj strani: *cis*

Supstituenti na suprotnim stranama: *trans*

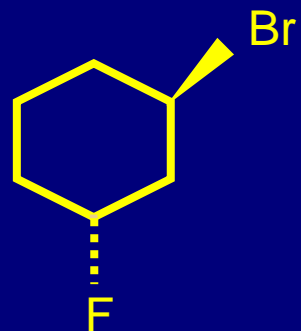
} Stereoizomeri



cis-1,2-dimetilciklopropan



trans-1,2-dimetilciklopropan



Trans-1-brom-3-fluorocikloheksan

Definicija stereoizomera:

Ista konektivnost (njihovi atomi vezani istim redosledom), ali se razlikuju u prostornom rasporedu

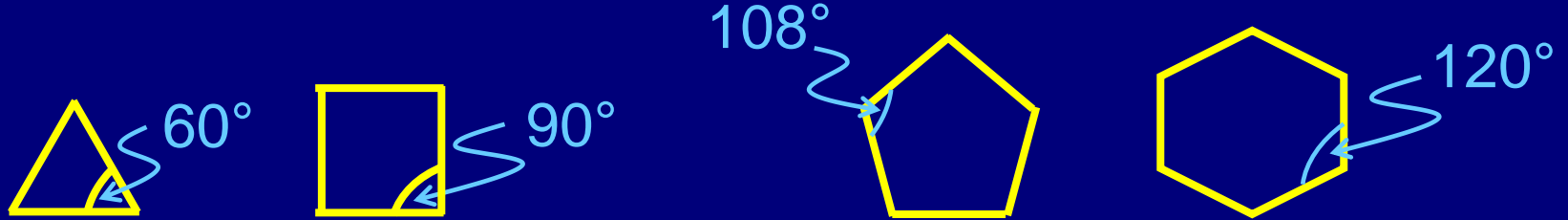
Ova definicija uključuje i rotamere (anti, gauche, itd.).

Stereoizomer : rotamer

Stereoizomeri: su stabilni na sobnoj temperaturi, pretvaranje jednog u drugi moguće samo raskidanjem veza.

Rotameri: konformeri se brzo uravnotežuju rotacijom oko veza

Napon prstena

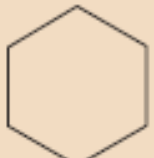


sp^3 -ugljenik: uglovi veza 109.5°

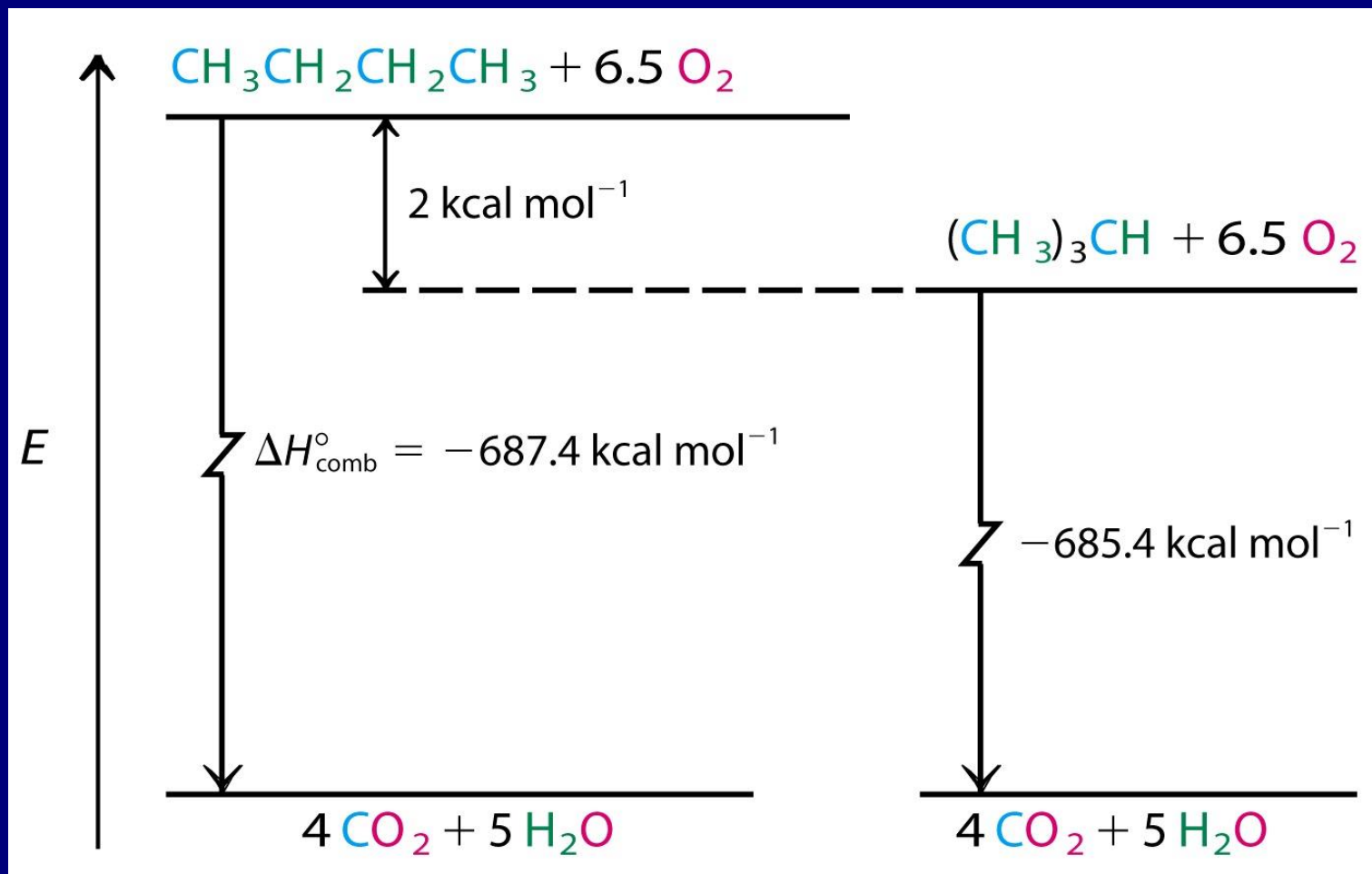
Kako možemo kvantifikovati “napon prstena”?
Potrebno je uporediti sa sistemom bez napona.
Toplota sagorevanja kao merilo stabilnosti.

TABELA 3-7

Topote sagorevanja (kcal mol^{-1} , normalizovane na 25°C)
razlicitih organskih jedinjenja

Jedinjenje (stanje)	Ime	$\Delta H_{\text{sag}}^\circ$
CH_4 (gas)	metan	$\sim 160 \left\{ \begin{array}{l} -212.8 \\ \end{array} \right.$
C_2H_6 (gas)	etan	$\sim 160 \left\{ \begin{array}{l} -372.8 \\ \end{array} \right.$
$\text{CH}_3\text{CH}_2\text{CH}_3$ (gas)	propan	$\sim 160 \left\{ \begin{array}{l} -530.6 \\ \end{array} \right.$
$\text{CH}_3(\text{CH}_2)_2\text{CH}_3$ (gas)	butan	$\sim 160 \left\{ \begin{array}{l} -687.4 \\ \end{array} \right.$
$(\text{CH}_3)_3\text{CH}$ (gas)	2-metilpropan	-685.4
$\text{CH}_3(\text{CH}_2)_3\text{CH}_3$ (gas)	pentan	-845.2
$\text{CH}_3(\text{CH}_2)_3\text{CH}_3$ (tečan)	pentan	-838.8
$\text{CH}_3(\text{CH}_2)_4\text{CH}_3$ (tečan)	heksan	-995.0
 (tečan)	cikloheksan	-936.9
$\text{CH}_3\text{CH}_2\text{OH}$ (gas)	etanol	-336.4
$\text{CH}_3\text{CH}_2\text{OH}$ (tečan)	etanol	-326.7
$\text{C}_{12}\text{H}_{22}\text{O}_{11}$ (čvrst)	trščani šećer (saharoza)	-1348.2

Primena: Relativni energetski sadržaj dva izomerna butana



Račvasti alkani su nešto stabilniji od izomera ravnog niza

Kod alkana za svaku dodatu (CH_2) grupu prirast od $\Delta H^\circ_{\text{sag}} \sim -157.4$.

Na osnovu ovog je moguće predvideti $\Delta H^\circ_{\text{sag}}$ (očekivano) za $\text{C}_n\text{H}_{2n+2}$: $n \times 157.4$.

Predviđanje kod cikloalkana :

$\Delta H^\circ_{\text{sag}}$ (očekivano) $(\text{CH}_2)_n$: $n \times 157.4$.

Razlika između očekivane i eksperimentalne vrednosti je napon prstena

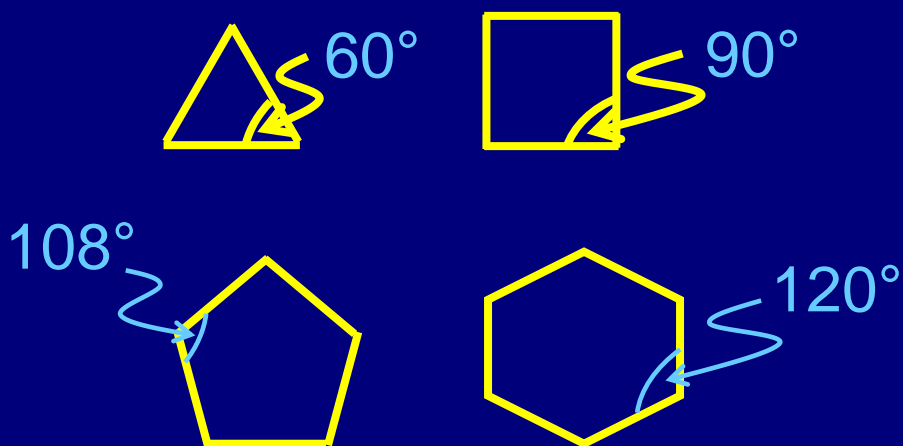
TABELA 4-2

Izračunate i eksperimentalne vrednosti topline sagorevanja (kcal mol^{-1}) različitih cikloalkana

Veličina prstena (C_n)	$\Delta H_{\text{sag}}^{\circ}$ (izračunato)	$\Delta H_{\text{sag}}^{\circ}$ (eksperimentalno)	Ukupan napon	Napon po CH_2 grupi
3	-472.2	-499.8	27.6	9.2
4	-629.6	-655.9	26.3	6.6
5	-787.0	-793.5	6.5	1.3
6	-944.4	-944.5	0.1	0.0
7	-1101.8	-1108.2	6.4	0.9
8	-1259.2	-1269.2	10.0	1.3
9	-1416.6	-1429.5	12.9	1.4
10	-1574.0	-1586.0	14.0	1.4
11	-1731.4	-1742.4	11.0	1.1
12	-1888.8	-1891.2	2.4	0.2
14	-2203.6	-2203.6	0.0	0.0

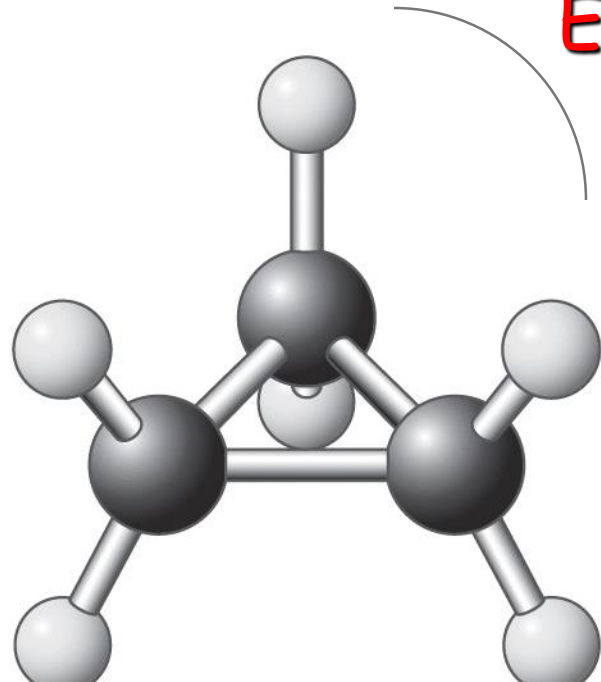
Napomena: izračunati brojevi su zasnovani na vrednosti $-157,4 \text{ kcal mol}^{-1}$ za CH_2 grupu

- Mali prstenovi (3, 4)
- Obični prstenovi (5, 6, 7)
- Srednji prstenovi (8-12)
- Veliki prstenovi (>12)



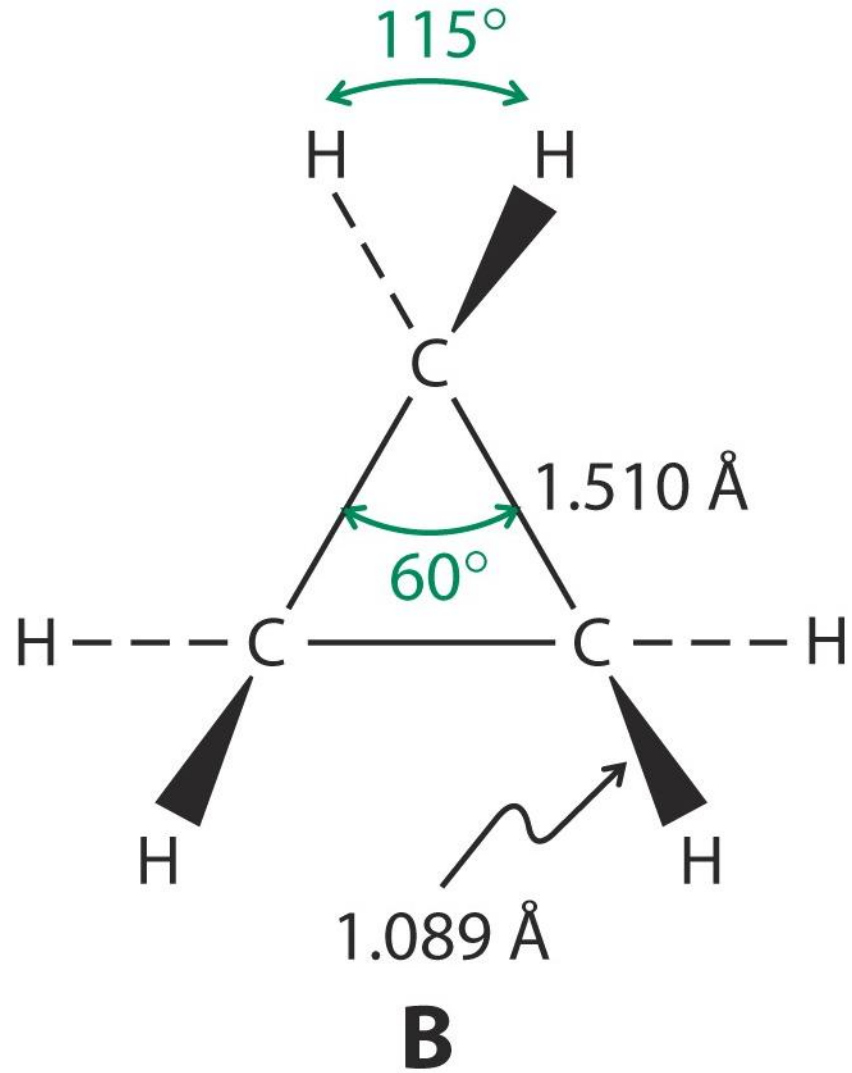
- Napon prstena:**
1. Uglovi veza
(posebno C3 i C4)
 2. Eklipsnost
 3. Transanularne interakcije (posebno kod srednjih prstenova)

Ciklopropan

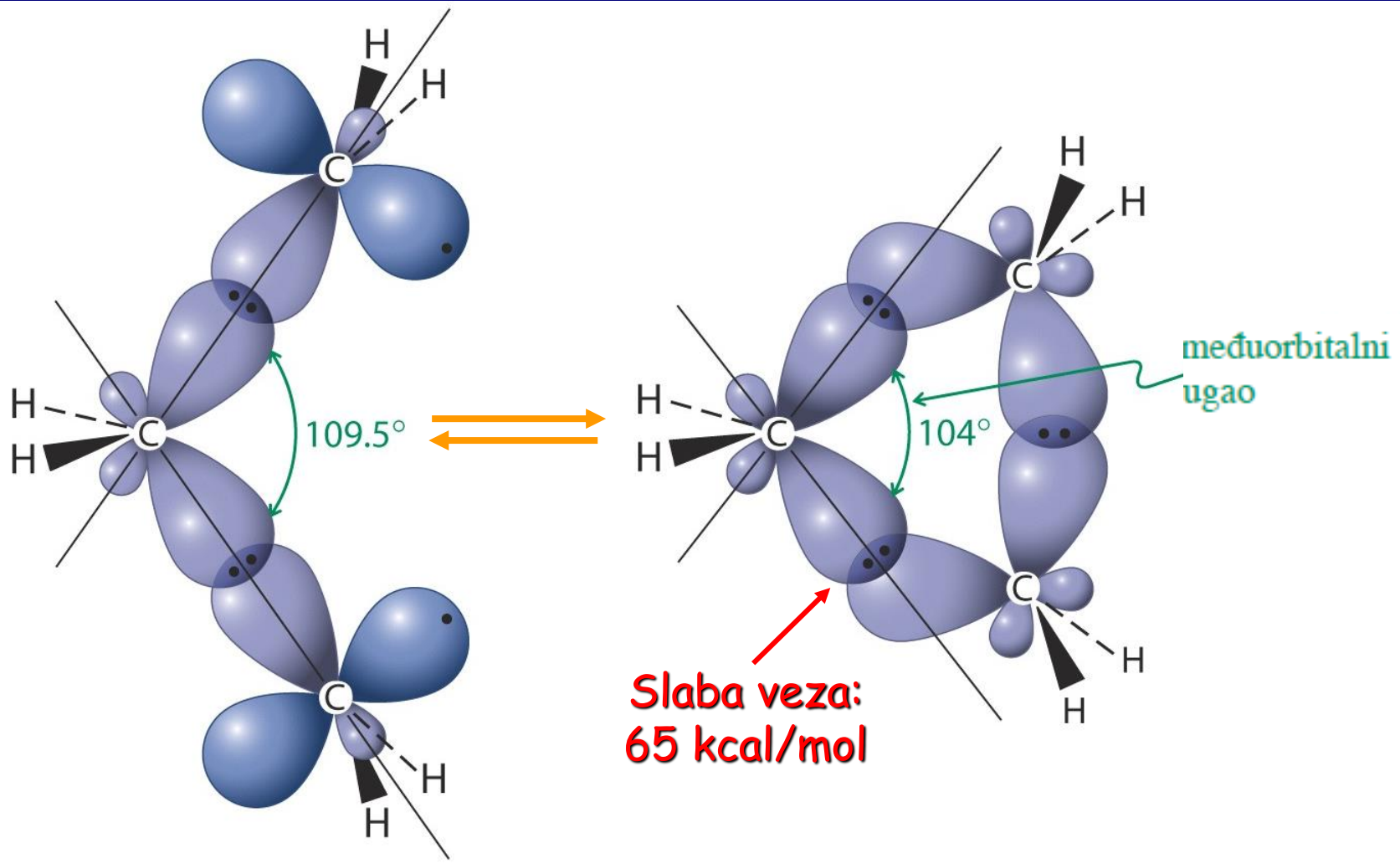


A

Eklipsna

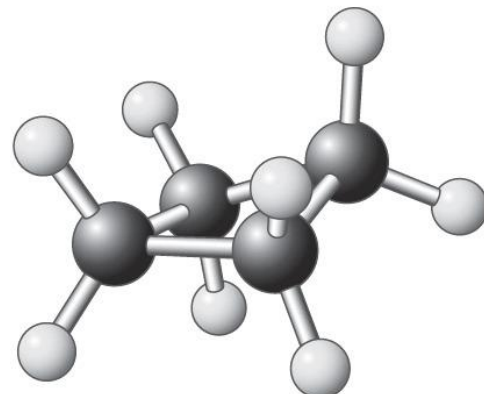


Savijene veze kod ciklopropana

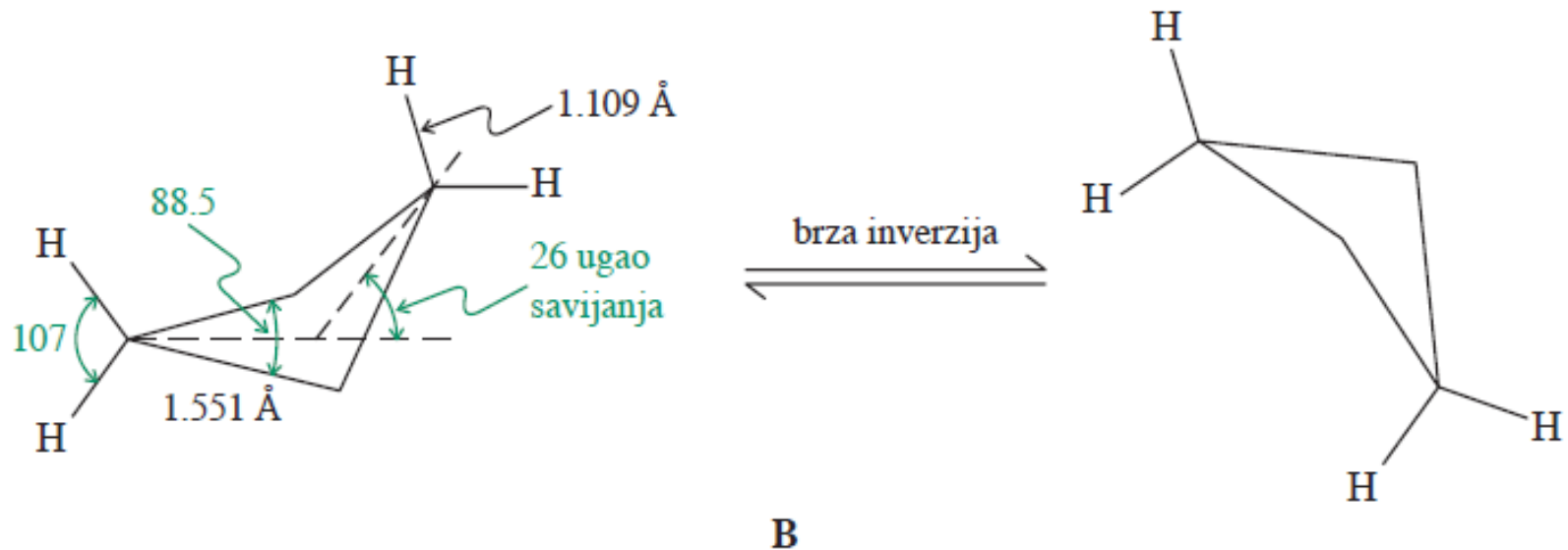


Trimetilen diradikal

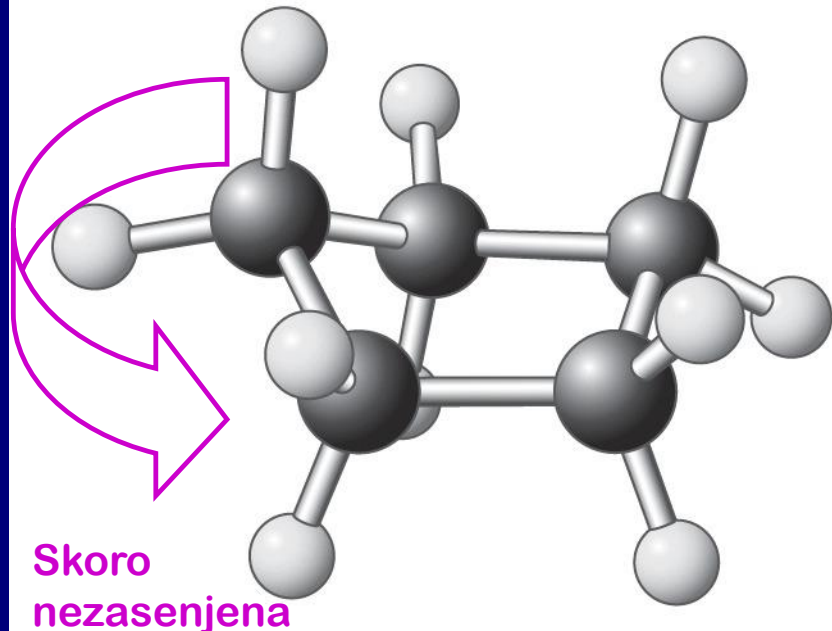
Ciklobutan: “nabiranjem” se smanjuje eklipsnost



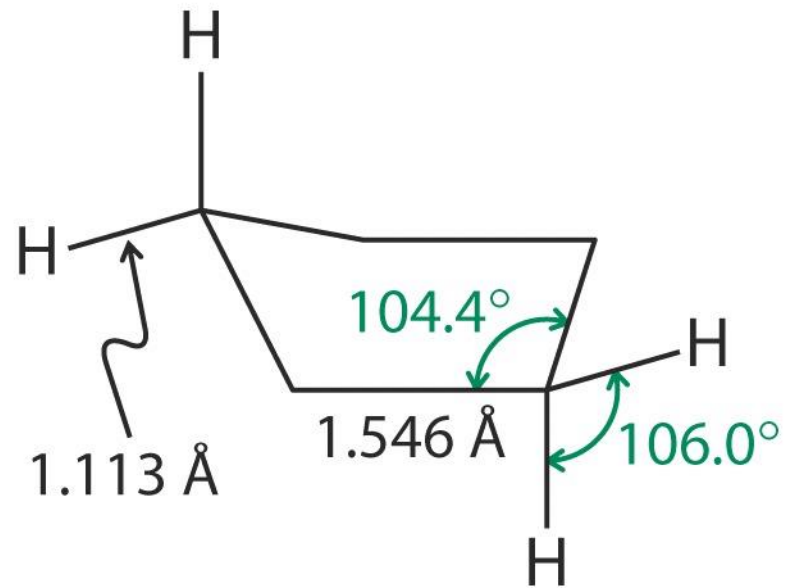
A



Ciklopentan: konformacija koverte

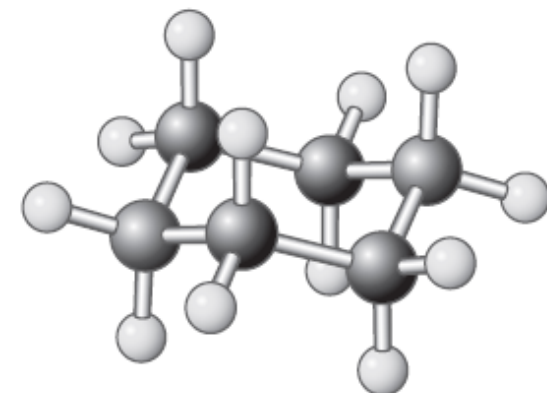
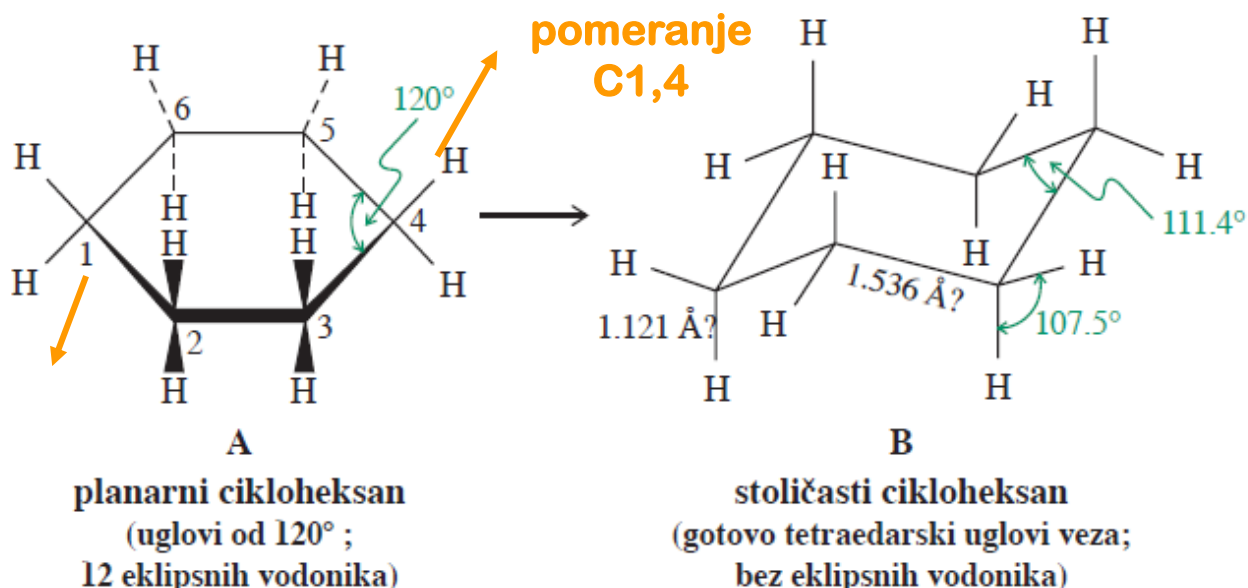


A



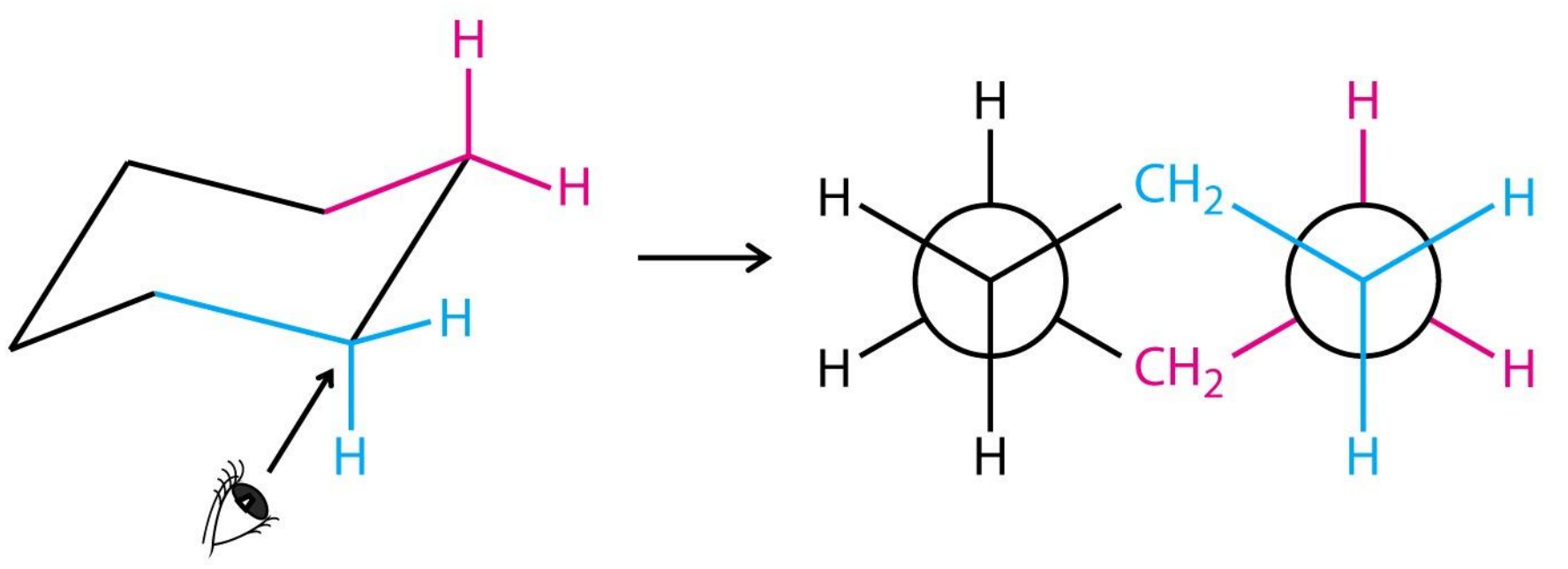
B

Cikloheksan: cikloalkan bez napona; konformacija stolice

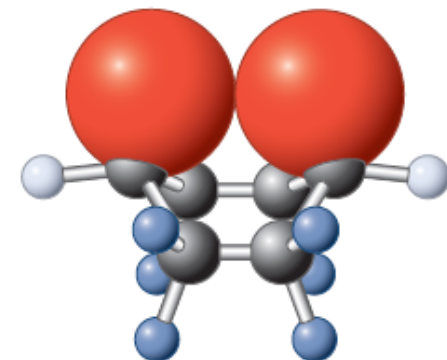
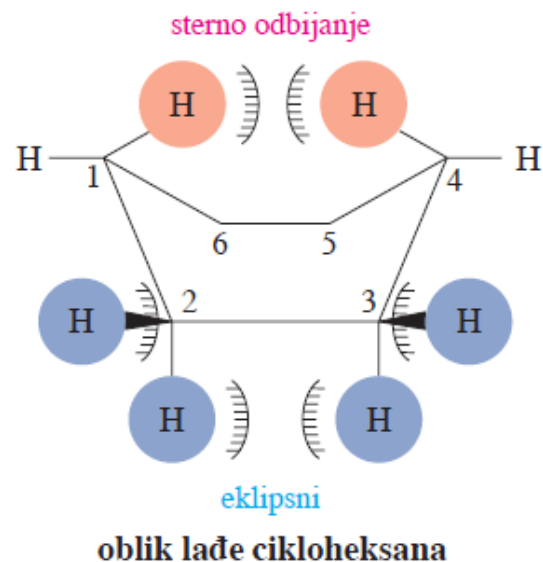
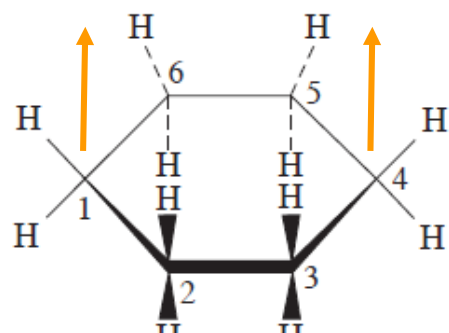


Veoma slične vrednosti za izračunatu i eksperimentalno određenu toplotu sagorevanja: -944,4 : -944,5 kcal mol⁻¹

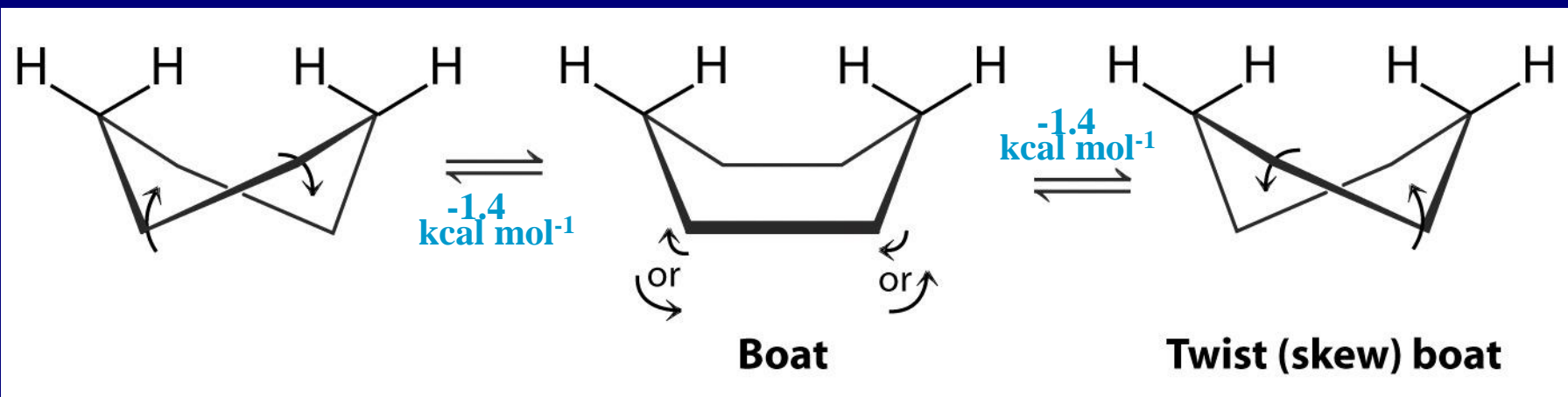
Newman-ova projekcija cikloheksana-nezasenjena



Konformacija lađe, manje stabilna zbog eklipsnih interakcija i transanularnog napona

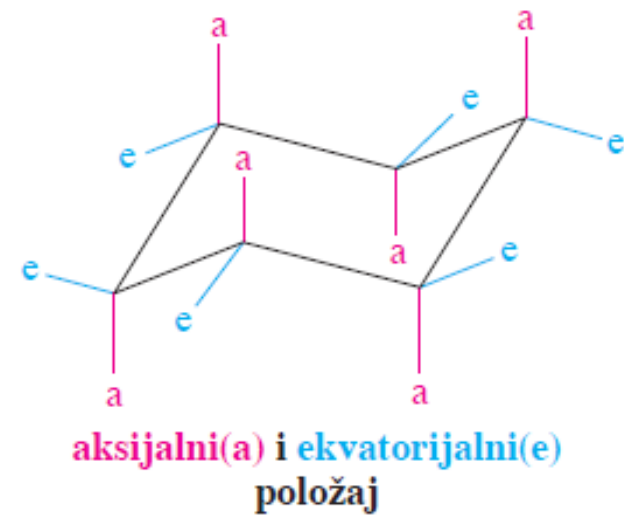
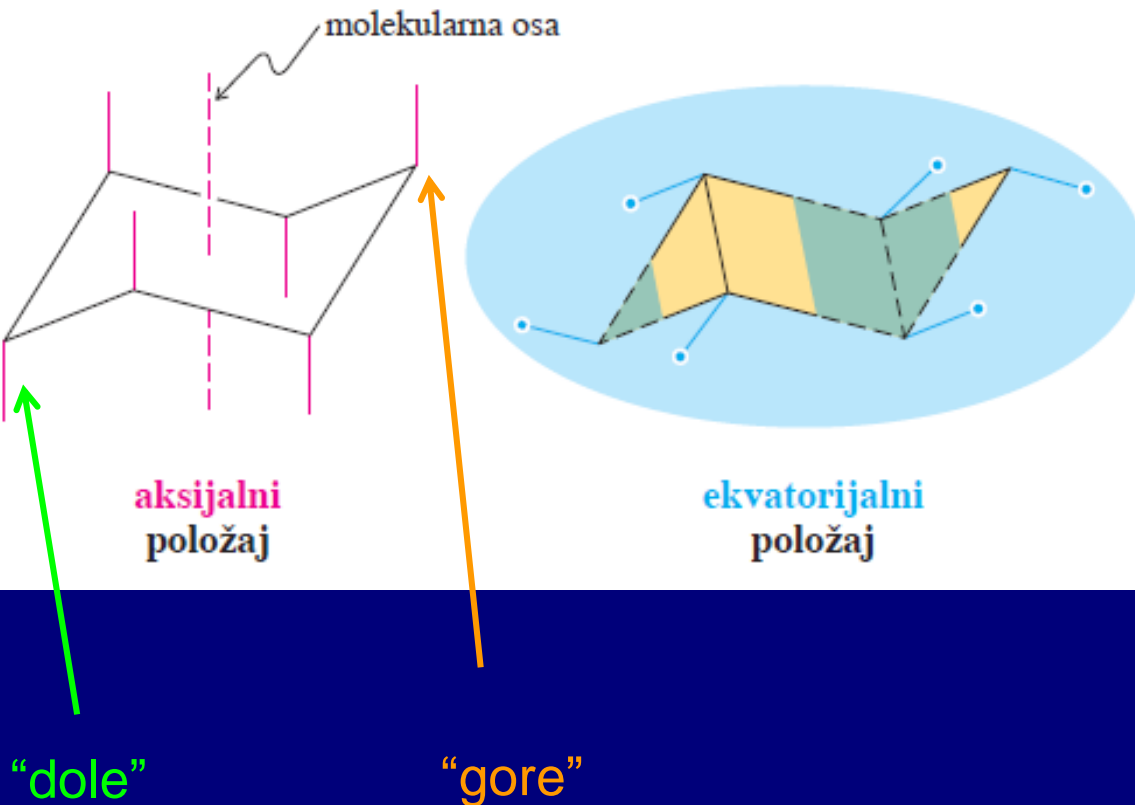


...zato se lađa uvija.

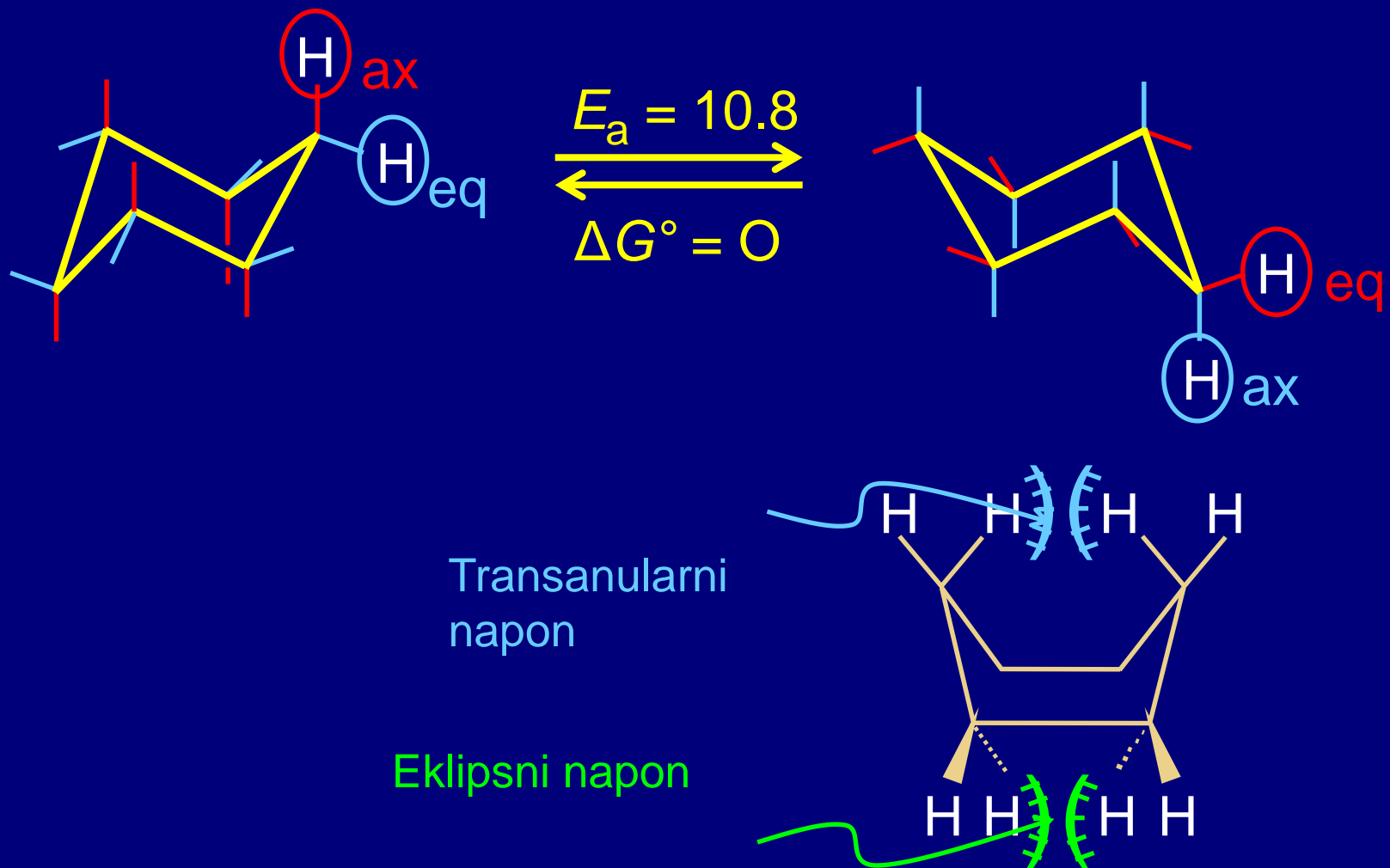


Dva moguća oblika uvijene lađe se međusobno izmenjuju preko konformera lađe kao prelaznog stanja

Kako nacrtati cikloheksan u konformaciji stolice

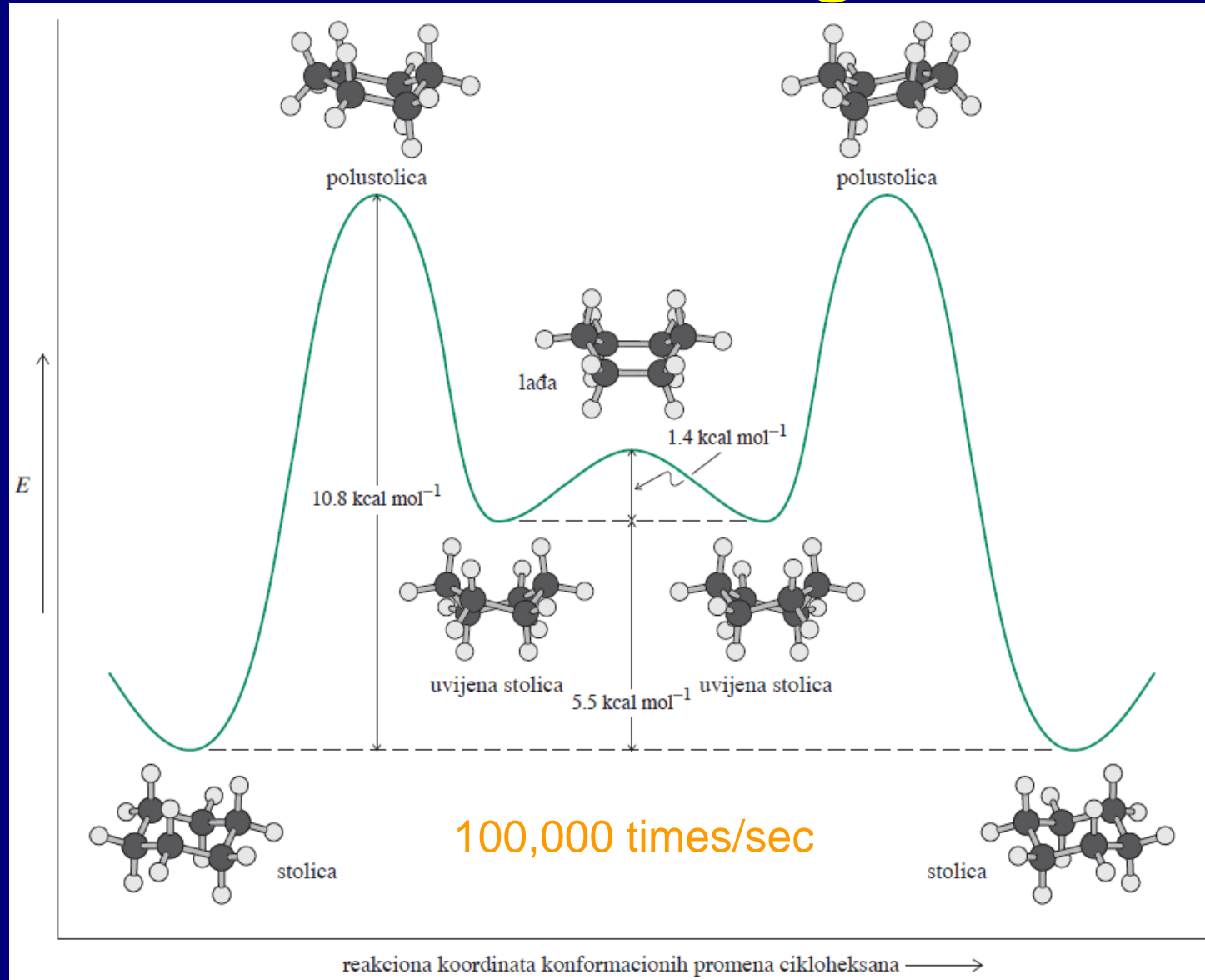


Promena konformacija cikloheksana

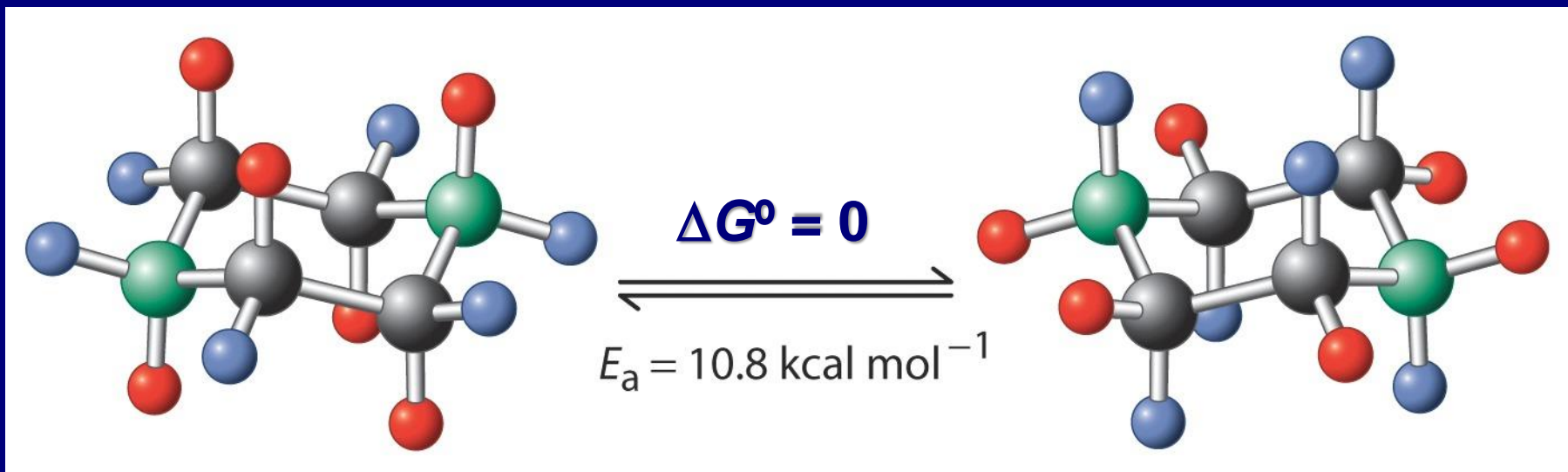


Stolica \rightarrow Lađa + 6.9 kcal mol $^{-1}$. Lađa je TS.

Prevodenje jedne konformacije stolice u drugu



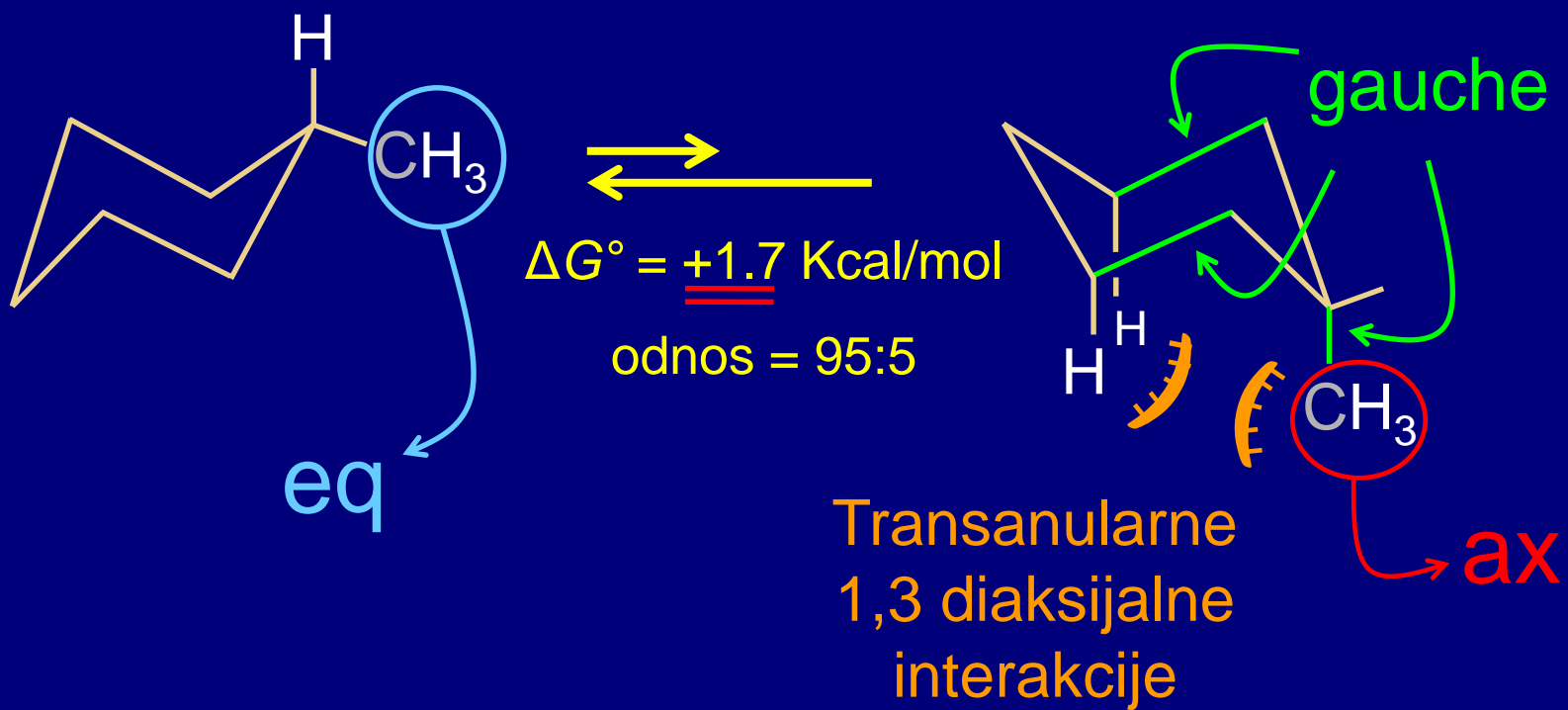
Konformacionom inverzijom aksijalni vodonici se pretvaraju u ekvatorijalne i obrnuto



Ove dve strukture su identične.
Šta se dešava sa supstituisanim cikloheksanima?

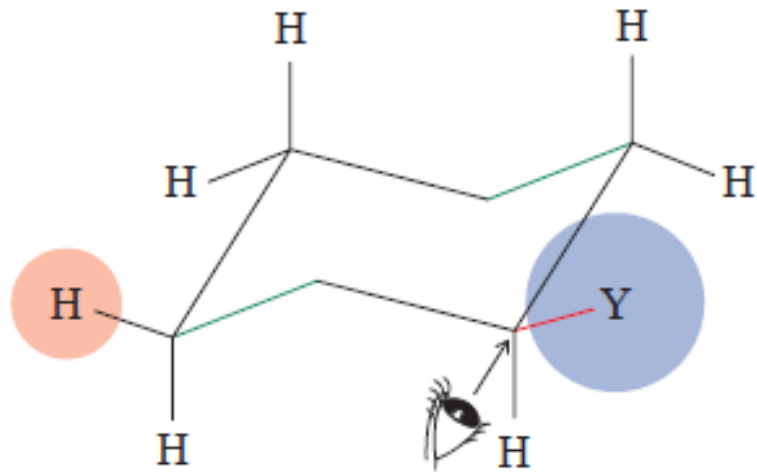
Supstituisani cikloheksani

Konformaciona analiza: Aksijalni i ekvatorijalni metilcikloheksani nemaju iste energije

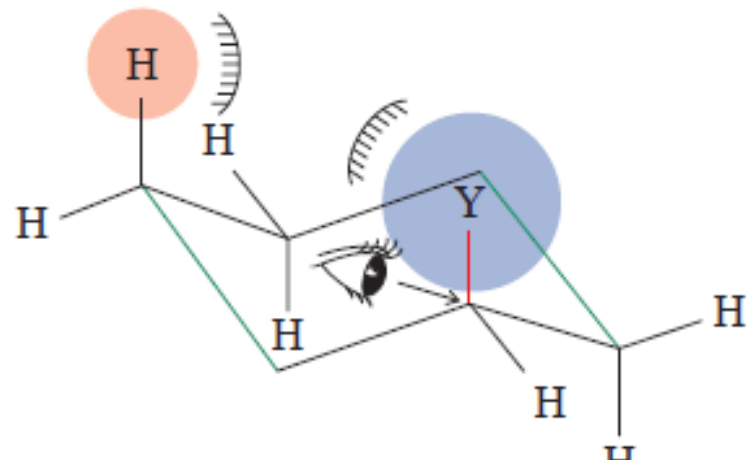


Aksijalno-ekvatorijalni konformeri

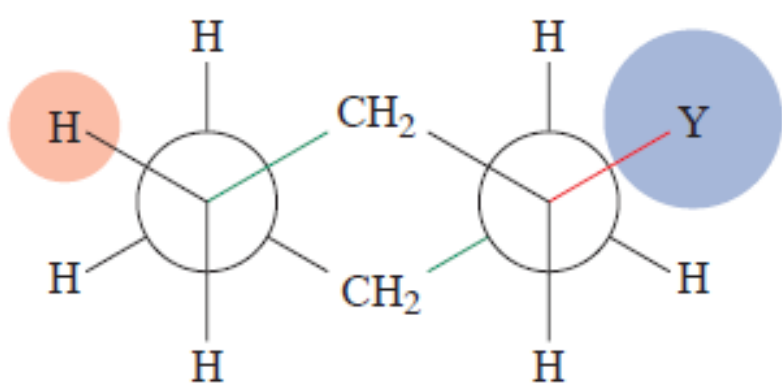
ekvatorijalni Y



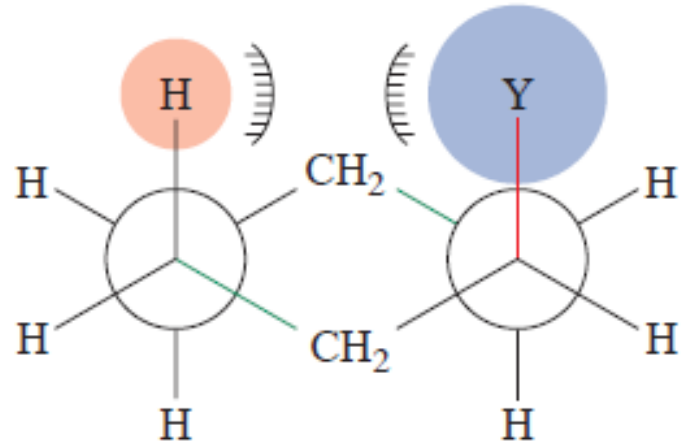
aksijalni Y



|||



|||



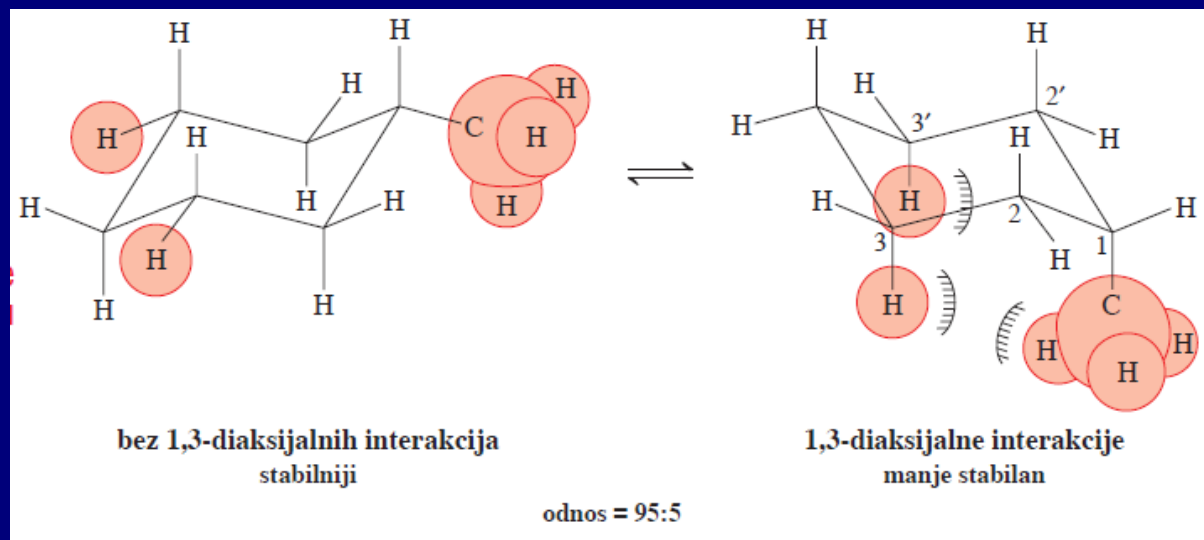


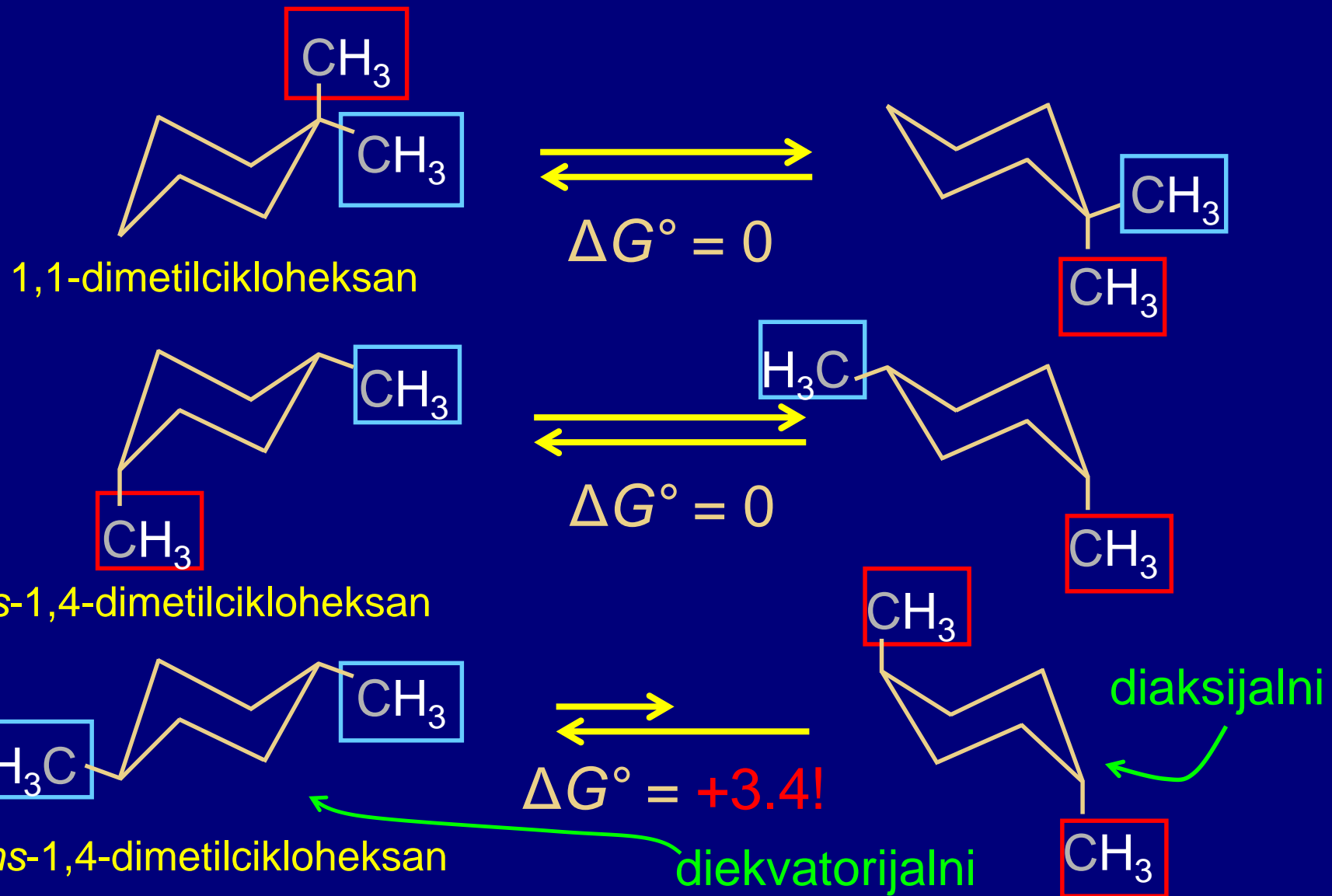
TABELA 4-3

Promene slobodne energije inverzije konformeru cikloheksana sa naznačenim ekvatorijalnim supstituentom u konformer sa aksijalnim konformerom

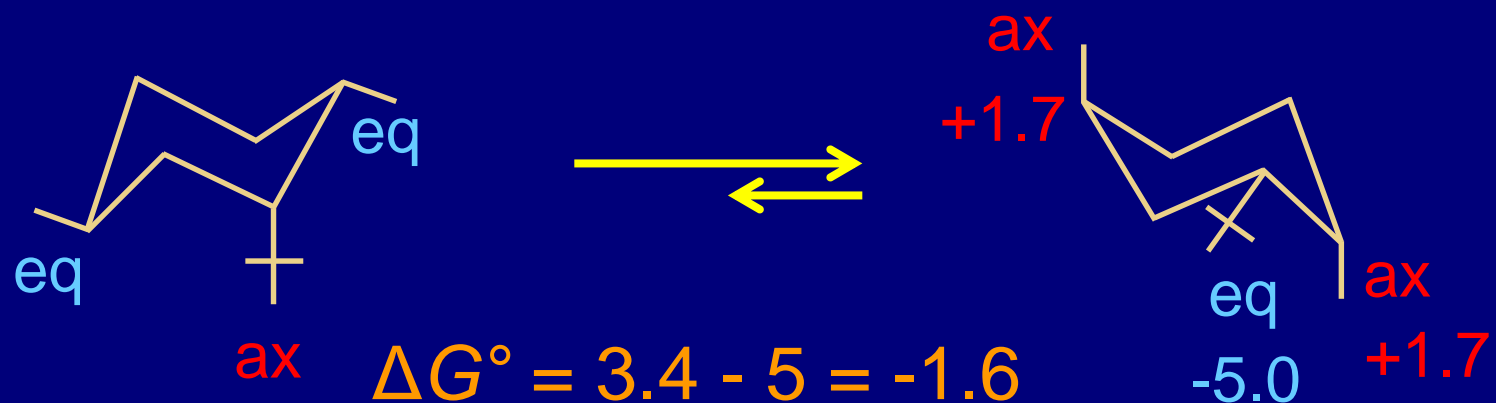
Supstituent	ΔG° (kcal mol ⁻¹)	Supstituent	ΔG° (kcal mol ⁻¹)
H	0	F	0.25
CH ₃	1.70	Cl	0.52
CH ₃ CH ₂	1.75	Br	0.55
(CH ₃) ₂ CH	2.20	I	0.46
(CH ₃) ₃ C	≈ 5	HO	0.94
	1.41	CH ₃ O	0.75
	1.29	H ₂ N	1.4

Napomena: u svim primerima, stabilniji konformer je onaj u kome je supstituent ekvatorijalan

Konformaciona analiza: ΔG° mogu biti aditivne.
Razmotrimo dimetilcikloheksane:



Najveća grupa favorizuje jednu konformaciju:



Veliki supstituent, kao *terc*-butil,
„zaključava“ konformaciju

TABELA 4-3

Promene slobodne energije inverzije konformeru cikloheksana sa naznačenim ekvatorijalnim supstituentom u konformer sa aksijalnim konformerom

Supstituent	ΔG° (kcal mol ⁻¹)	Supstituent	ΔG° (kcal mol ⁻¹)
H	0	F	0.25
CH ₃	1.70	Cl	0.52
CH ₃ CH ₂	1.75	Br	0.55
(CH ₃) ₂ CH	2.20	I	0.46
(CH ₃) ₃ C	≈ 5	HO	0.94
	1.41	CH ₃ O	0.75
	1.29	H ₂ N	1.4

Napomena: u svim primerima, stabilniji konformer je onaj u kome je supstituent ekvatorijalan

Problem:

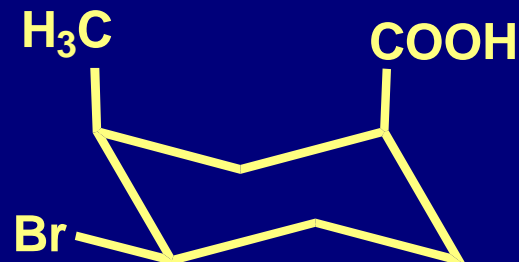
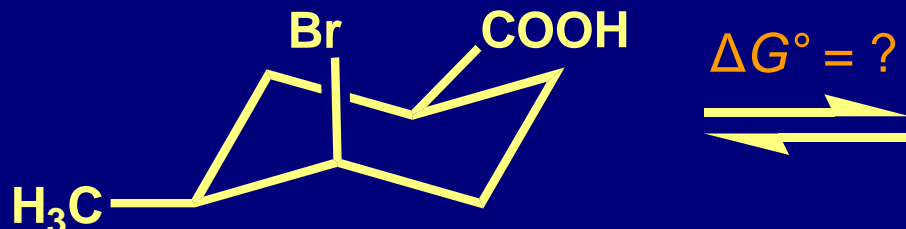
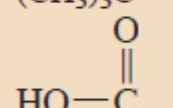
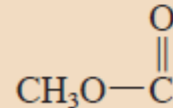


TABELA 4-3

Promene slobodne energije inverzije konformera cikloheksana sa naznačenim ekvatorijalnim supstituentom u konformer sa aksijalnim konformerom

Supstituent	ΔG° (kcal mol ⁻¹)	Supstituent	ΔG° (kcal mol ⁻¹)
H	0	F	0.25
CH ₃	1.70	Cl	0.52
CH ₃ CH ₂	1.75	Br	0.55
(CH ₃) ₂ CH	2.20	I	0.46
(CH ₃) ₃ C	≈ 5	HO	0.94
	1.41	CH ₃ O	0.75
	1.29	H ₂ N	1.4

Napomena: u svim primerima, stabilniji konformer je onaj u kome je supstituent ekvatorijalan

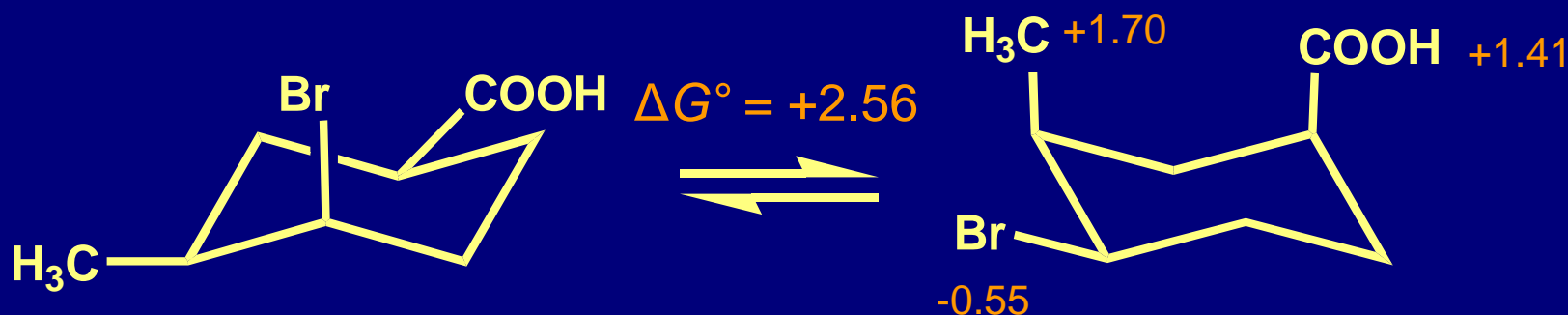
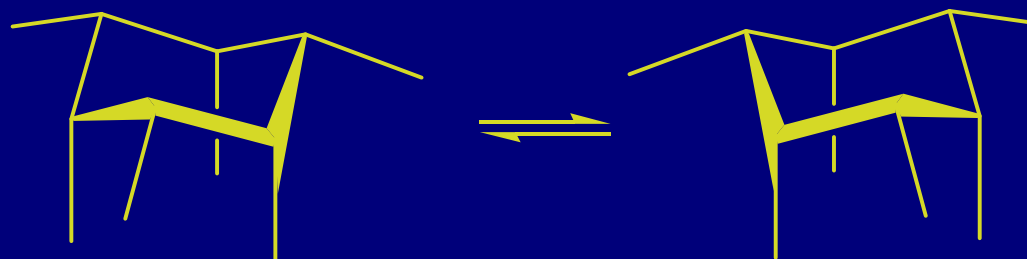
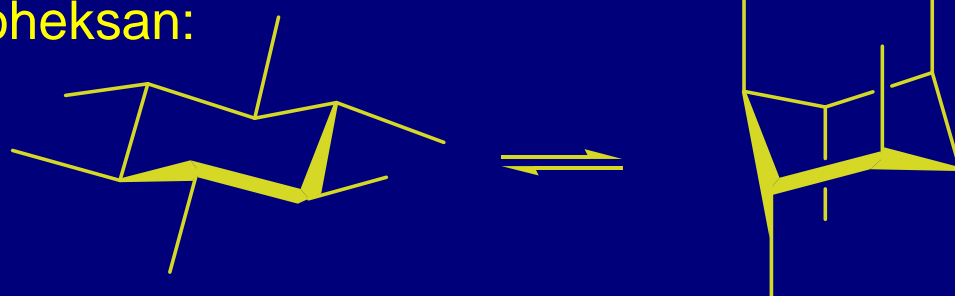


TABLE 4-4

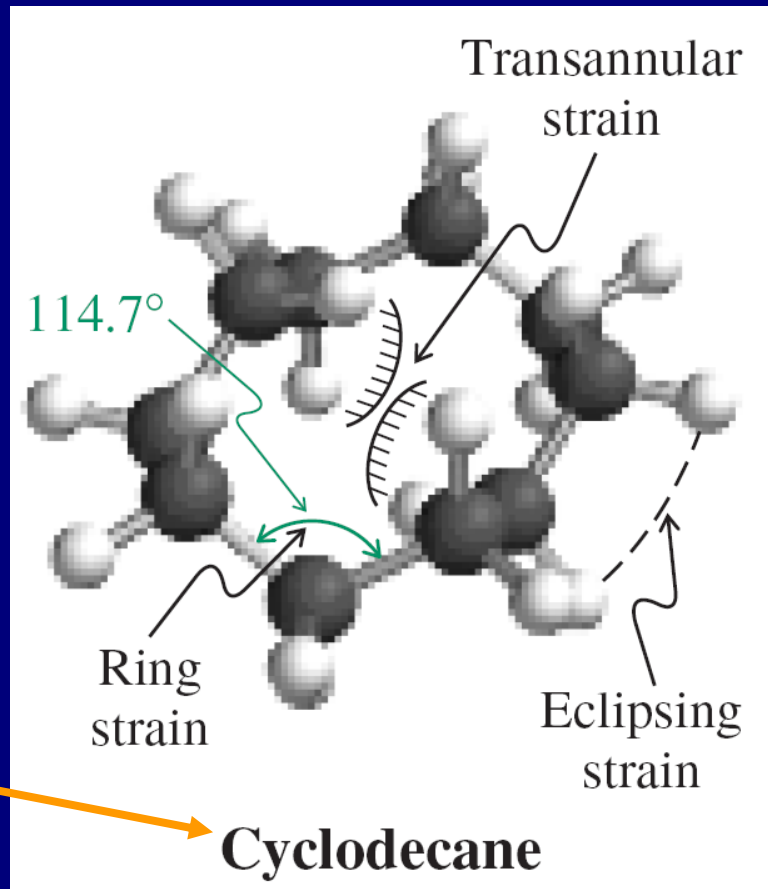
Relation of Cis-Trans Stereochemistry in Substituted Cyclohexanes
to Equatorial-Axial Positions in the Two-Chair Forms

<i>cis</i> -1,2	Axial-equatorial	Equatorial-axial
<i>trans</i> -1,2	Axial-axial	Equatorial-equatorial
<i>cis</i> -1,3	Axial-axial	Equatorial-equatorial
<i>trans</i> -1,3	Axial-equatorial	Equatorial-axial
<i>cis</i> -1,4	Axial-equatorial	Equatorial-axial
<i>trans</i> -1,4	Axial-axial	Equatorial-equatorial

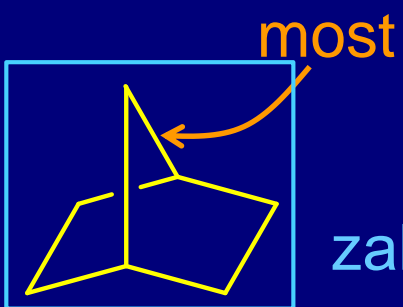
sve-*cis*-heksametilcikloheksan:sve-*trans*-heksametilcikloheksan:

Srednji prstenovi: transanularne interakcije

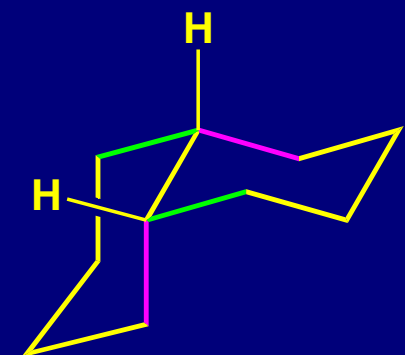
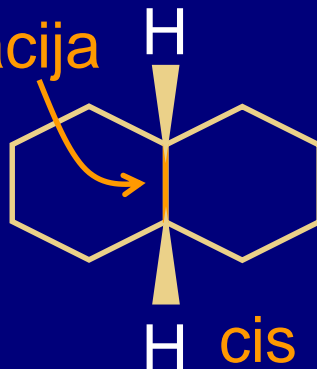
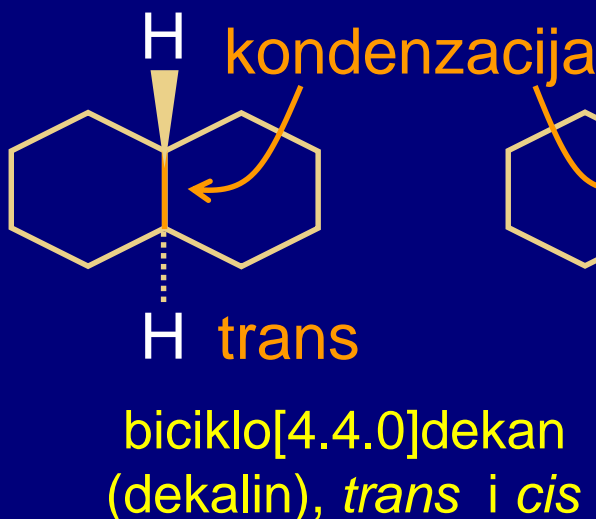
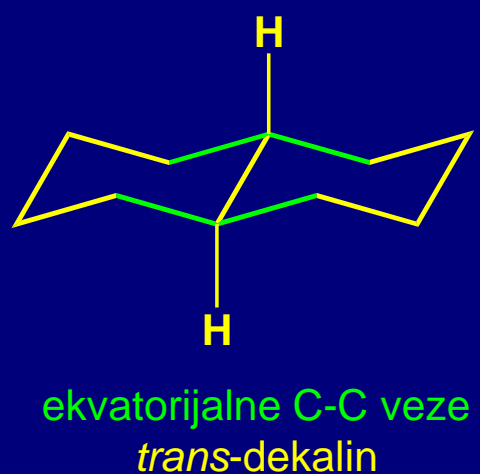
Ring size (C _n)	Total strain
3	27.6
4	26.3
5	6.5
6	0.1
7	6.4
8	10.0
9	12.9
10	14.0
11	11.0
12	2.4
14	0.0



Biciklični, kondenzovani, policiklični, polihedralni alkani

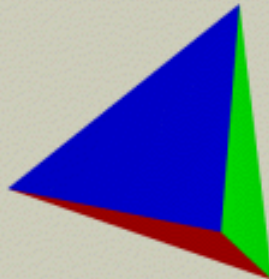


biciklo[2.2.1]heptan
(norbornan)

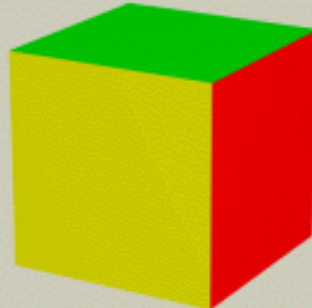


Napraviti model i pokušati konformacionu inverziju!!!!

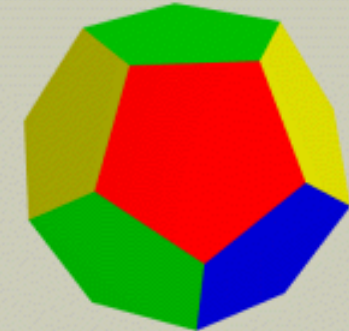
Ugljovodonici sa naponom: Da li postoji granica? Egzotični poliedri: Pet Platonskih ili kosmička čvrsta tela (Platon, 350 p.n.e.)



Tetrahedron
(vatra)

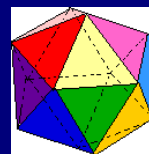


Kuban
(zemlja)

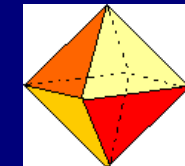


Dodekahedron
("eter")

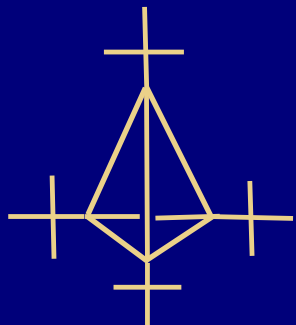
ikosahedron (voda)



i oktahedron (vazduh)

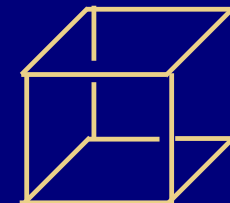


Da li je moguće napraviti Platonska tela sa ugljeničnim skeletom $(CH)_n$?

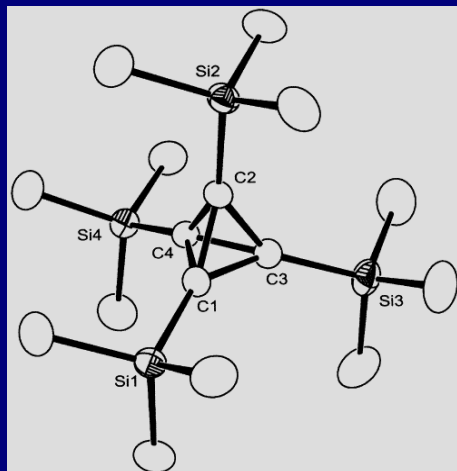


Maier, 1978,
tetra-*t*-Bu-
tetrahedrane.
Substituted C_4H_4

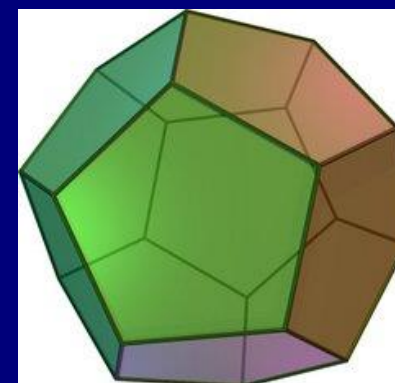
m.p. $135^\circ C$!
Strain: $130 \text{ kcal mol}^{-1}$



m.p. $126^\circ C$
Strain:
 $166 \text{ kcal mol}^{-1}$



m.p. $202^\circ C$

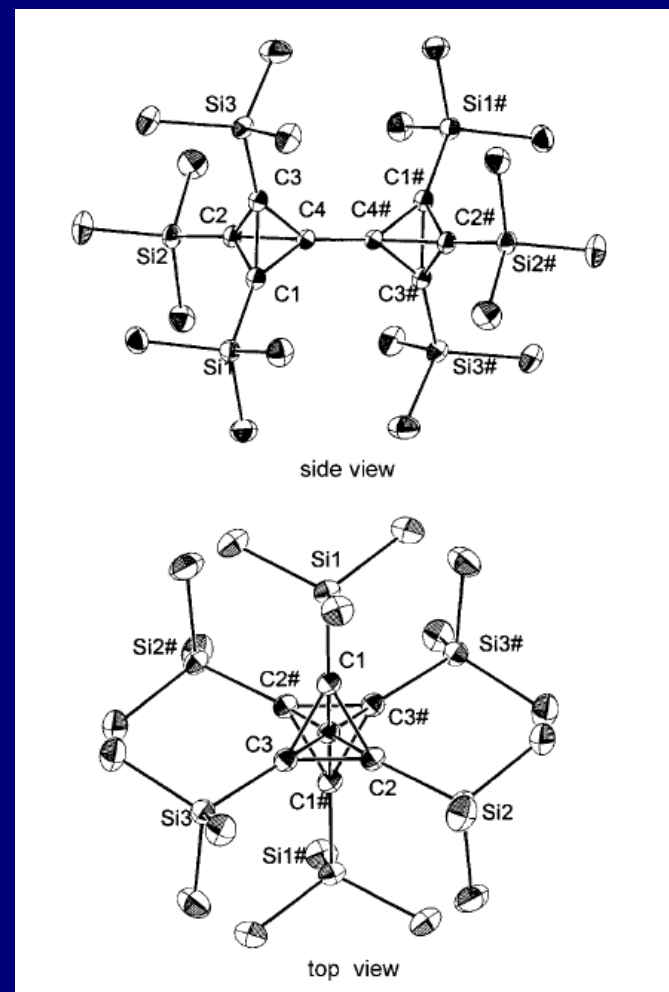
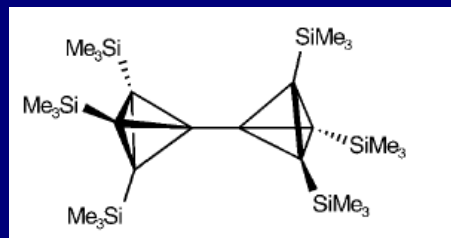
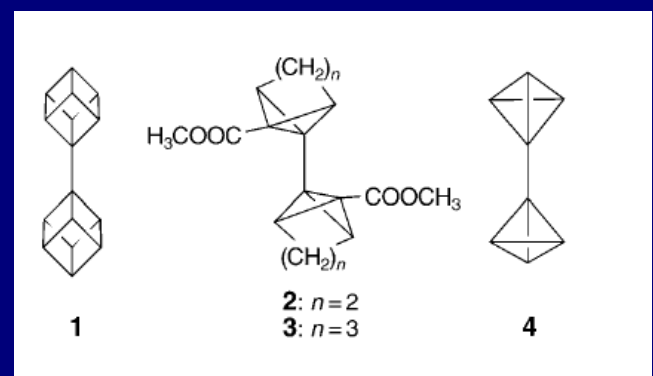


m.p.
 $430^\circ C$!
Strain: 60 kcal mol^{-1}

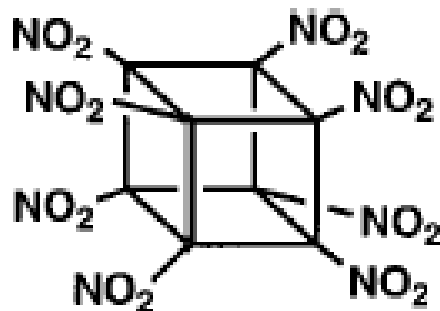
Maier, Sekiguchi, 2002,
tetrakis(trimethylsilyl)-
tetrahedrane.

Paquette, 1982,
dodecahedrane, $C_{20}H_{20}$,
12  faces

Sekiguchi, Angew. 2005, 5821



Oktanitrokuban: Novi eksploziv i raketno gorivo

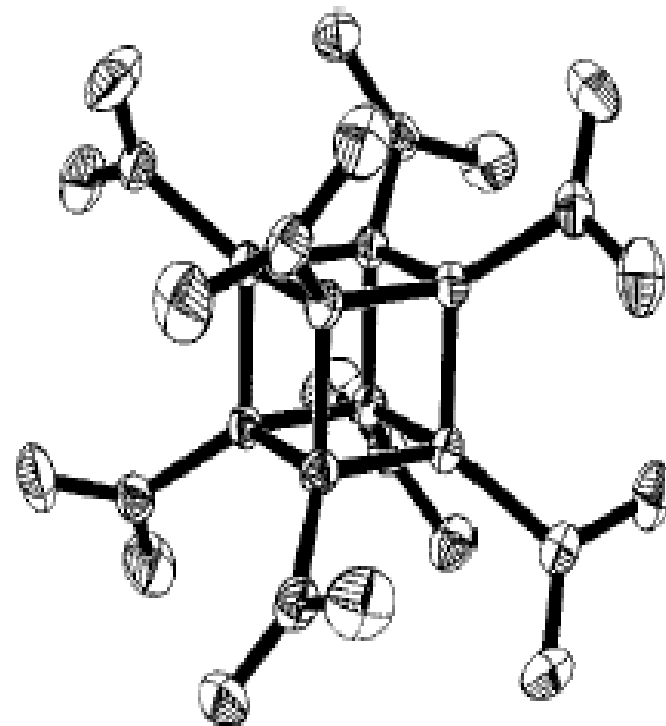


OCTANITROCUBANE



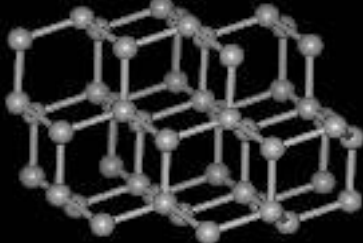
VOLUME EXPANSION ~ 1150 fold @ STP

ENERGY RELEASE ~ 830 kcal/mole

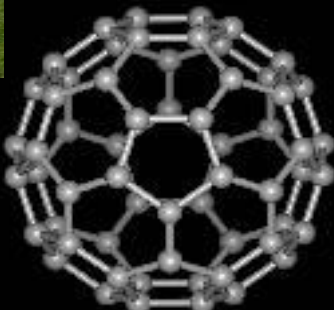


Eaton, *Adv. Mat.*, 2000.

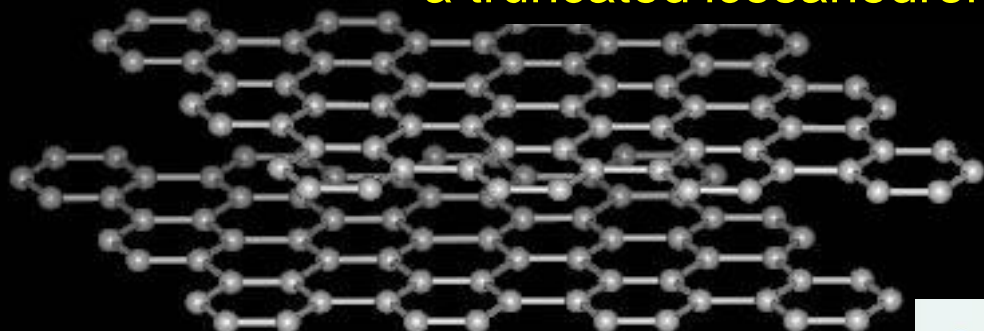
Alotropi ugljenika: C_n



diamond

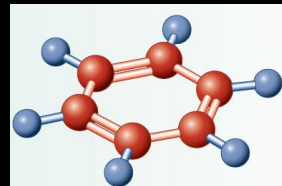


C_{60}
"buckminsterfullerene"
a truncated icosahedron



graphite

Benzene



(10,10) tube

Atomic Resolution Imaging of a Carbon Nanotube

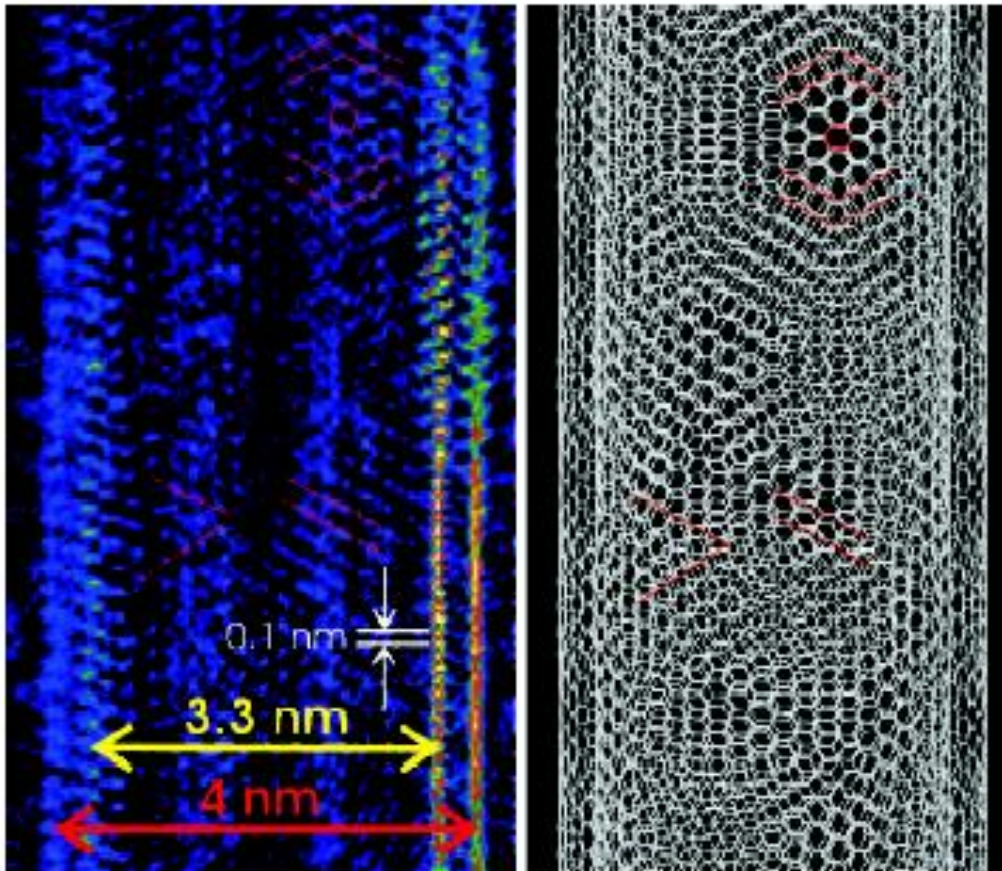
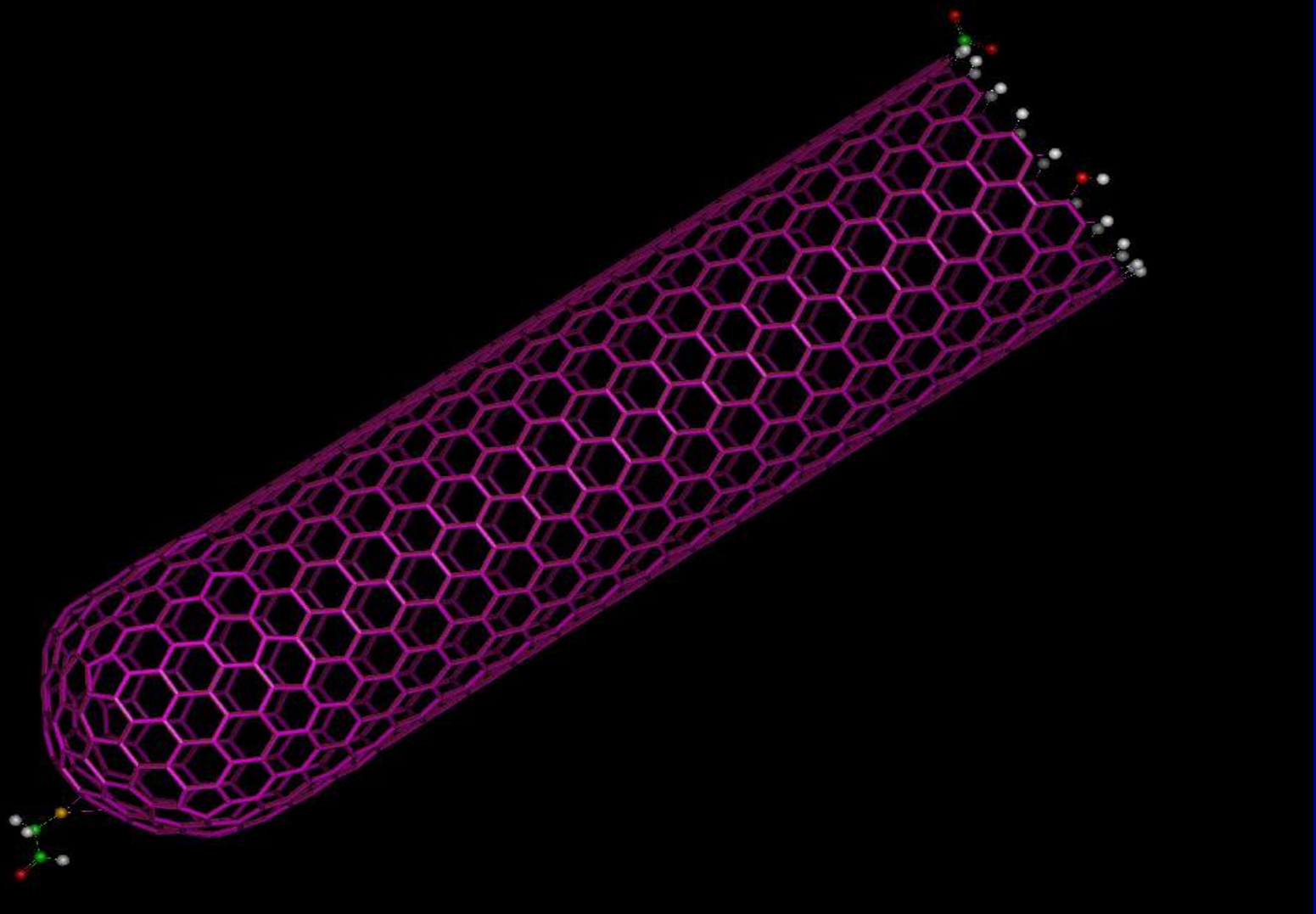
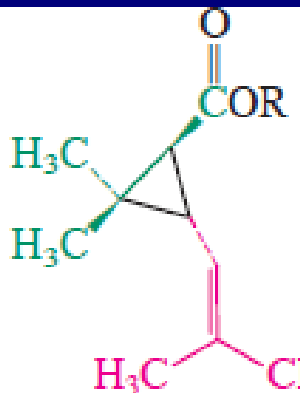


Fig. 2. (left) A section of the reconstructed DWNT image at 1-Å resolution and (right) a structural model constructed with the use of the chiral vectors of (35, 25) and (26, 24) that were determined from the image and diffraction pattern. The DWNT imaged here is one of many in our catalytic chemical vapor deposition-grown samples. Yellow and red lines mark the diameters of the inner and outer tubes, respectively. One side of walls is stronger than the other, which is because of the illumination. The DWNT is incommensurate. In projection, the structure has complex patterns showing both accidental coincidences and Moiré fringes, which are highlighted by hexagons and lines.

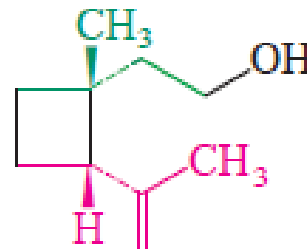
Ugljenične nanocevi: novi materijali za budućnost



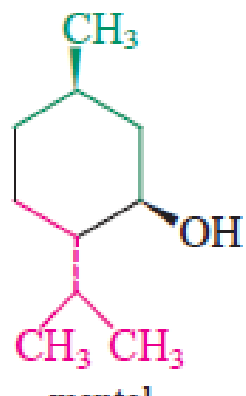
Karbociklični proizvodi u prirodi



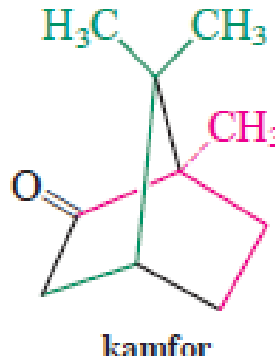
trans-hrizantemska kiselina (R=H)
trans-hrizantemski estari (R ≠ H)



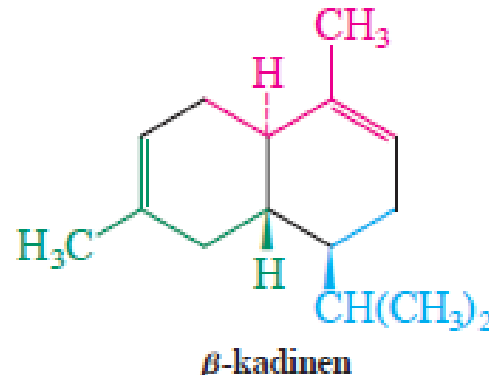
grandizol



mentol

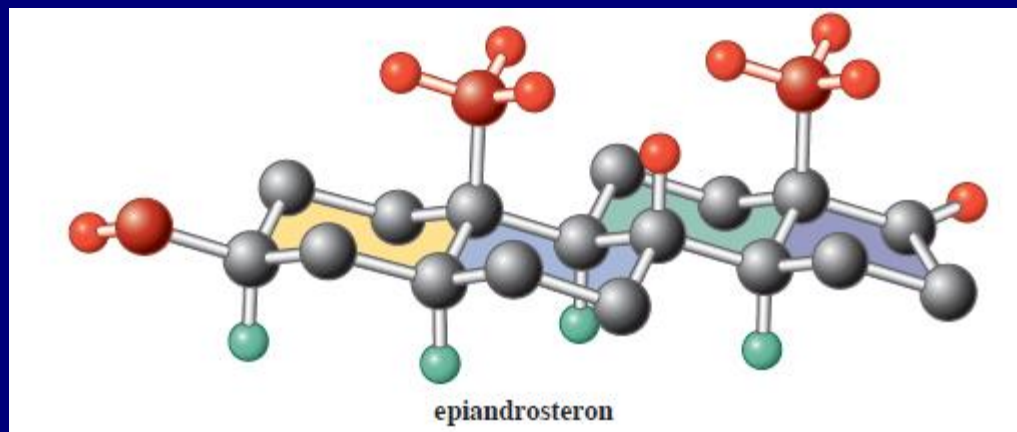
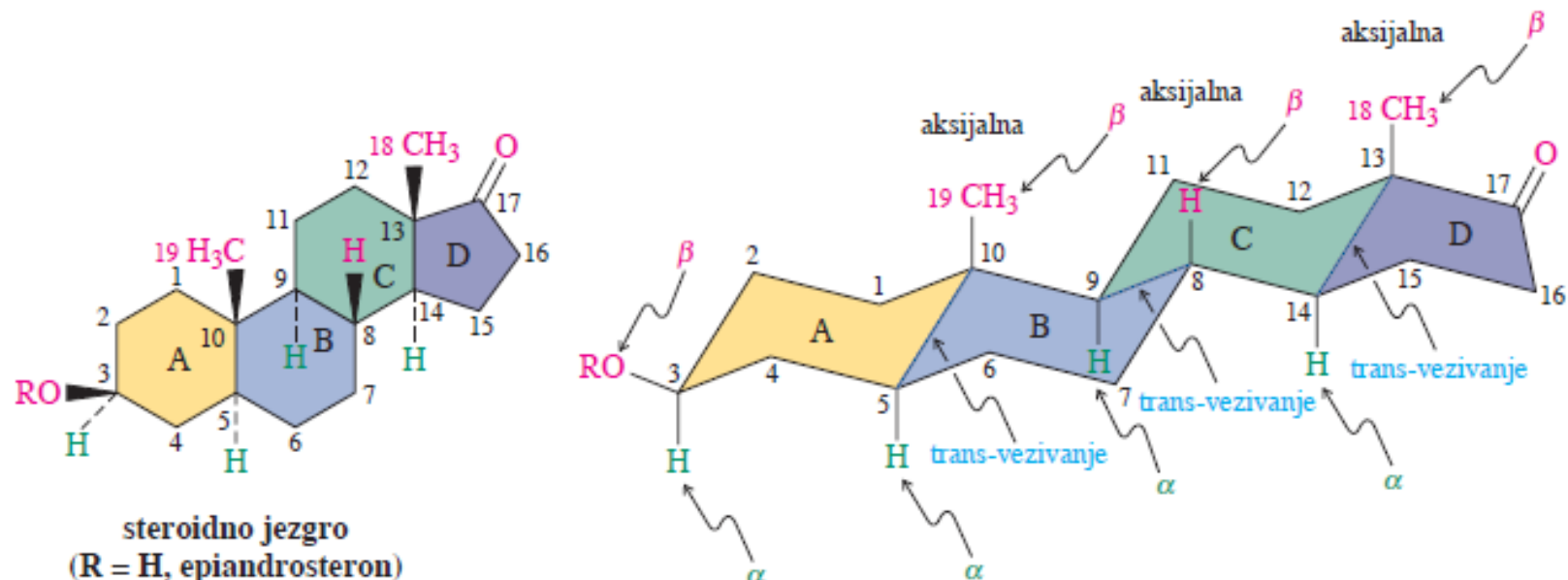


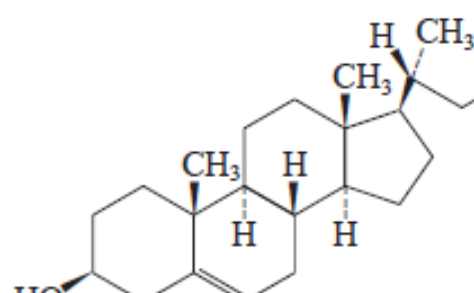
kamfor



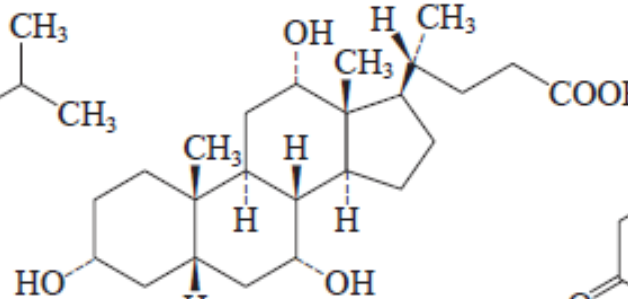
β-kadinen

Steroidi: tetraciklični proizvodi

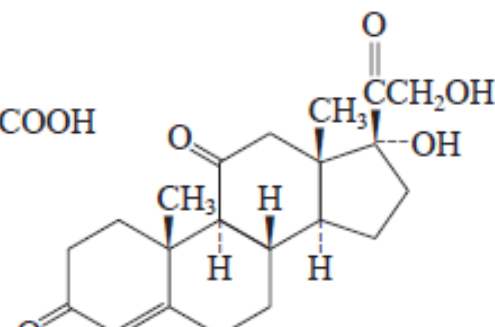




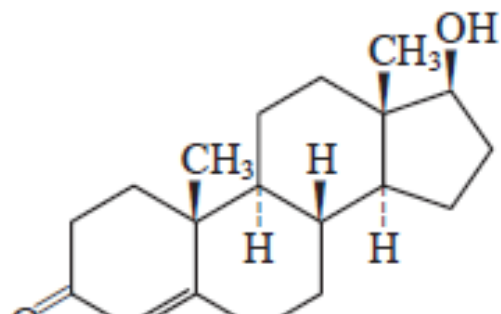
holesterol



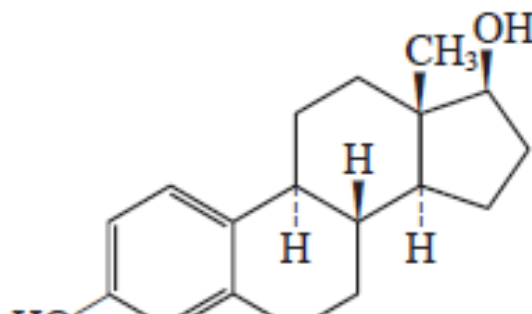
holna kiselina



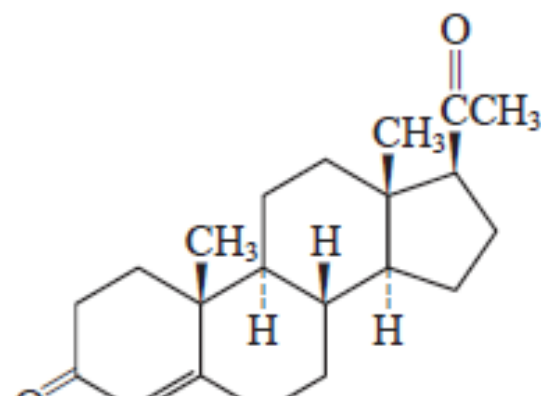
kortizon



testosteron



estradiol



progesteron

Vežba 4-2

Napišite strukture i imena drugih pet izomernih brommetil-cikloheksana.

Vežba 4-3

Trans-1,2-dimetilciklopropan je stabilniji od *cis*-1,2-dimetilciklopropana. Zašto? Nacrtajte formule da ilustrijete svoj odgovor. Koji izomer oslobađa više toplote prilikom sagorenja?

Vežba 4-4

Nacrtajte Newman-ove projekcije veza ugljenik-ugljenik ciklopropana, ciklobutana i ciklopentana u njihovim najstabilnijim konformacijama. Koristite modele koje ste napravili rešavajući vežbu 4-1 i pomozite se slikom 4-6. Koliki su približni torzionalni uglovi između C–H veza kod svakog od njih?

Vežba 4-7

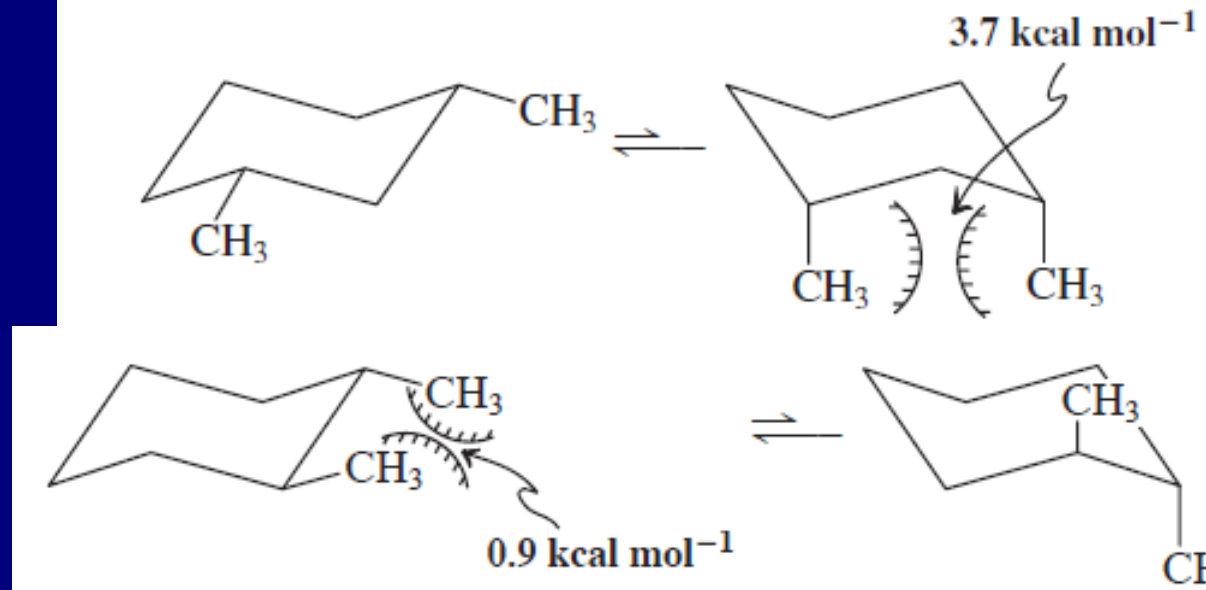
Izračunajte ΔG° ravnoteže dve stoličaste konformacije (a) 1-etil-1-metilcikloheksana; (b) *cis*-1-etil-4-metilcikloheksana; (c) *trans*-1-etil-4-metilcikloheksana.

Vežba 4-8

Nacrtajte obe konformacije stolice svakog od datih izomera: (a) *cis*-1,2-dimetilcikloheksan; (b) *trans*-1,2-dimetilcikloheksan; (c) *cis*-1,3-dimetilcikloheksan; (d) *trans*-1,3-dimetilcikloheksan. Koji od ovih izomera uvek ima jednak broj aksijalnih i ekvatorijalnih supstituenata? Koji postoji kao ravnotežna smeša diaksijalnih i diekvatorijalnih oblika?

Vežba 4-9

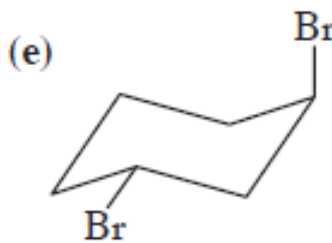
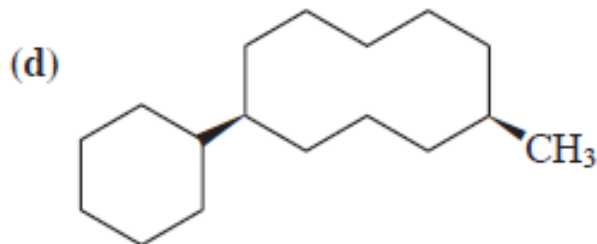
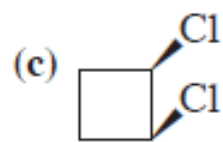
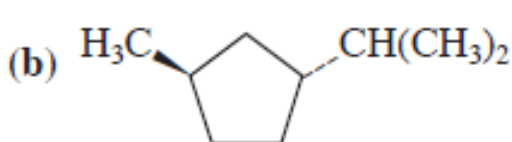
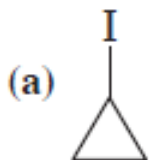
Iako su vrednosti za supstituente iz tabele 4-3 aditivne i mogu biti upotrebljene za ukazivanje položaja ravnoteže između dva konformera supstituisanog cikloheksana, izmerene vrednosti ΔG° mogu biti zbumujuće zbog dodatnih 1,3-diaksijalnih i 1,2-gauche-interakcija između grupa. Na primer, *trans*-1,4-dimetilcikloheksan i njegovi izomeri *cis*-1,3- i *trans*-1,2-dimetilcikloheksani postoje kao ravnotežna smeša diekvatorijalno-diaksijalnih oblika i zato bi trebalo da imaju iste vrednosti $\Delta G^\circ = 3,4 \text{ kcal mol}^{-1}$. Međutim, izmerene vrednosti su veće ($5,4 \text{ kcal mol}^{-1}$) za prvi, a manje ($2,5 \text{ kcal mol}^{-1}$) za drugi izomer. Objasnite. (Pomoć: u slučaju *cis*-1,3-dimetilcikloheksana pažljivo analizirajte sve 1,3-diaksijalne interakcije i uporedite sa odgovarajućim interakcijama kod *trans*-1,4-dimetilcikloheksana. U analizi *trans*-1,2-izomera uzmite u obzir blizinu dve metil-grupe; podsetite se *gauche-anti* odnosa kod butana, odeljak 2-8.)



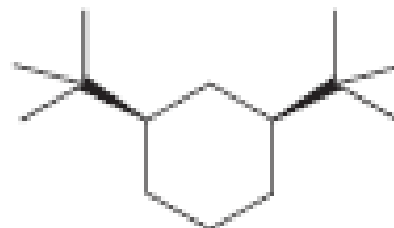
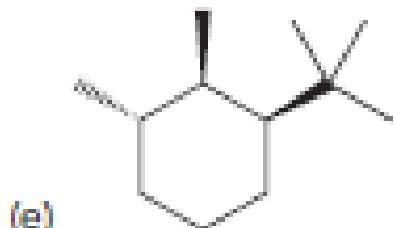
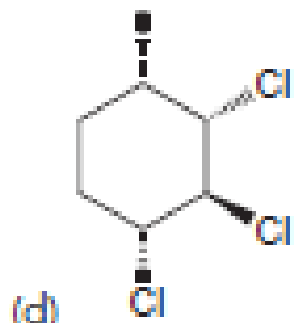
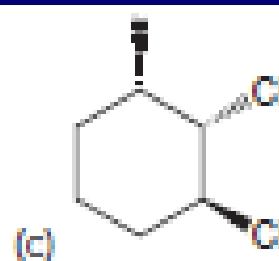
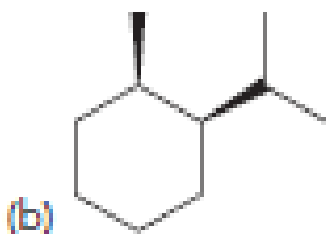
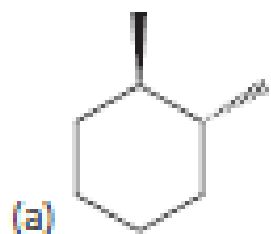
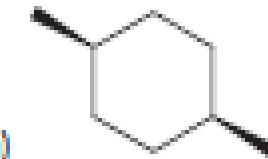
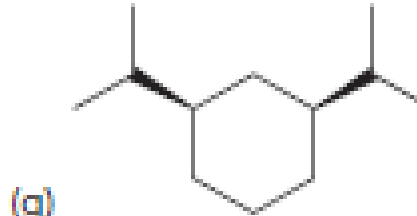
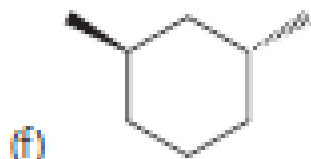
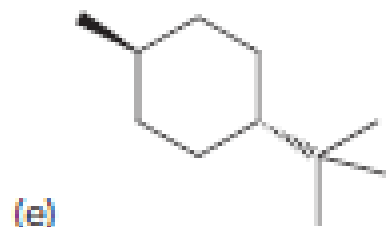
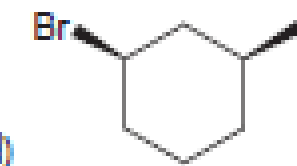
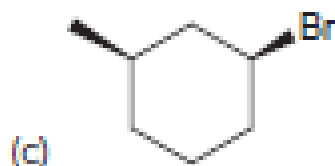
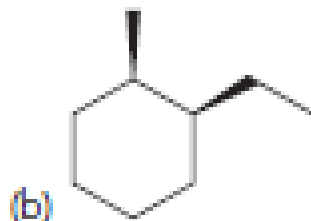
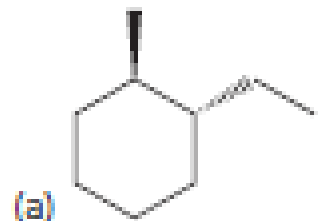
Vežba 4.11

Nacrtajte stabilniju stoličastu konformaciju mentola.

16. Nacrtajte što više struktura koje imaju formulu C_5H_{10} i sadrže jedan prsten. Imenujte ih.
17. Imenujte date molekule prema IUPAC-ovom sistemu.



Prikazati sledeća jedinjenja u najstabilnijim konformacijama:



Za svaki par izomera a-d odrediti koje jedinjenje je stabilnije
(nacrtati odgovarajuće konformacije stolice):

